



Chapter 4

差动放大器

Differential Amplifiers

中科大微电子学院

黄鲁、程林

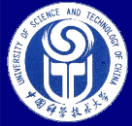
教材：模拟CMOS集成电路设计

Behzad Razavi



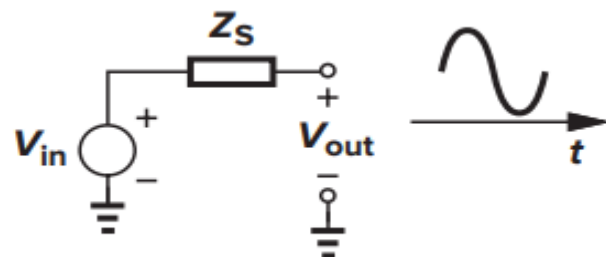
第4章内容

- 4.1 差动工作方式
- 4.2 基本差动对
- 4.3 共模响应
- 4.4 MOS为负载的差动对
- 4.5 吉尔伯特单元（模拟乘法器）

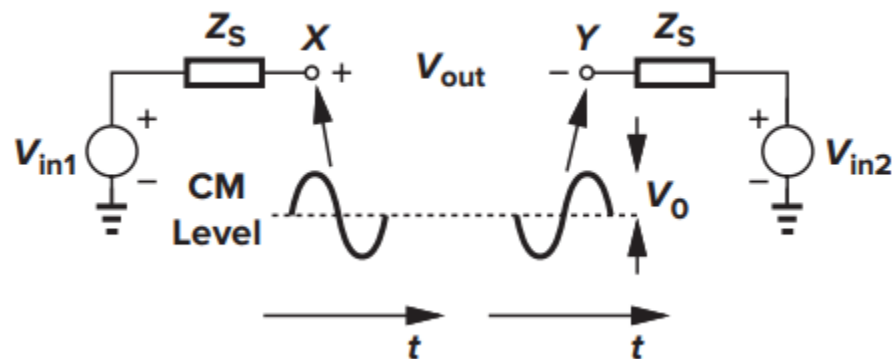


4.1 单端和差动的工作方式

- 单端信号：参考电位为一固定电位（fixed potential），通常为地。



- 差动信号：两个节点电位之差。
- 两差动节点：
 - 直流电位相对某一固定电位（即共模电平）大小相等；
 - 交变小信号电压方向相反；
 - 与固定电位（=交流地）节点的小信号阻抗相等（电路对称）。



$$V_X = V_{CM} + V_0 \cos(\omega t), V_Y = V_{CM} - V_0 \cos(\omega t), -V_0 \leq V_X \text{ 和 } V_Y \text{ 变化 } \leq V_0$$

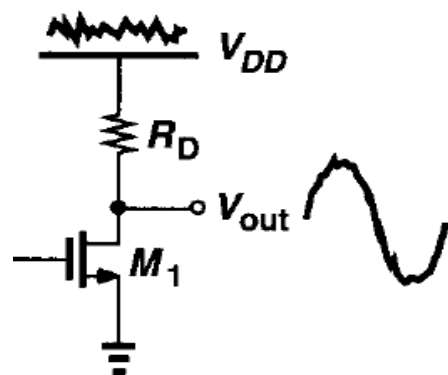
$$\text{差动（分）信号: } V_{XY} = V_X - V_Y = 2V_0 \cos(\omega t), -2V_0 \leq V_{XY} \leq 2V_0$$

差动信号峰峰值（最小到最大=4V₀）=2*差动信号摆幅（正弦波幅度2V₀）
=2*单边（交变）小信号峰峰值(2V₀)=4*单端小信号摆幅（V₀）



差动（差分）工作方式的优点

(1) 对共模噪声（外部环境电磁噪声，如电源和地噪声）的强抑制能力；



(a)



(b) 两单端放大器组成差动对

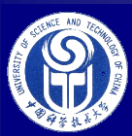
Figure 4.3 Effect of supply noise on (a) a single-ended circuit, (b) a differential circuit.

共模噪声：2输入端或2输出端相同大小的噪声(包括外部噪声和直流温漂)

(2) $V_{out} = V_X - V_Y$, 增大了输出电压摆幅

(3) 提高线性电压范围（差动电路相对于单端电路）

代价：面积增加一倍



两单端CS放大器组成简单差动对的缺点

共模CM电平：2输入端或输出端的相同电平

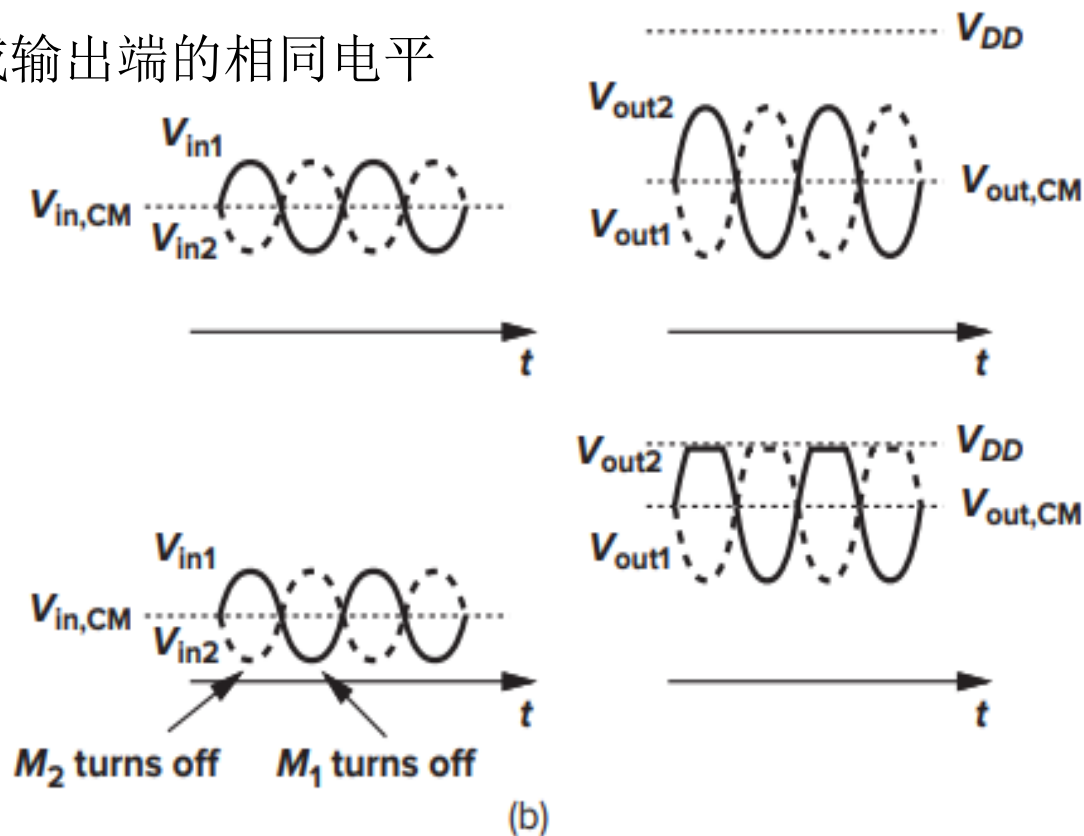
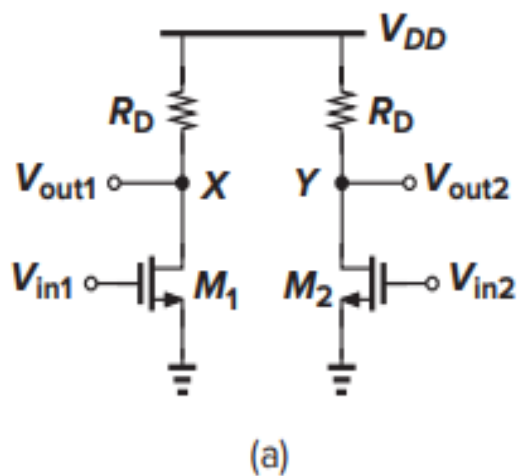
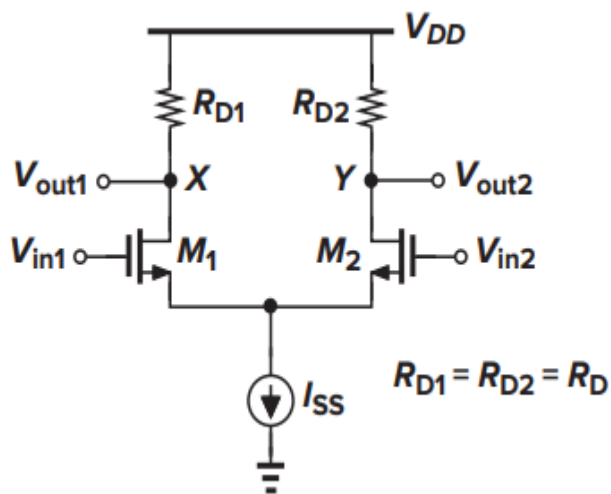


Figure 4.6 (a) Simple differential circuit; (b) illustration of sensitivity to the input common-mode level.

简单差动放大器的缺点：
输入共模电平影响输出电平与摆幅。



4.2 Basic Differential Pair



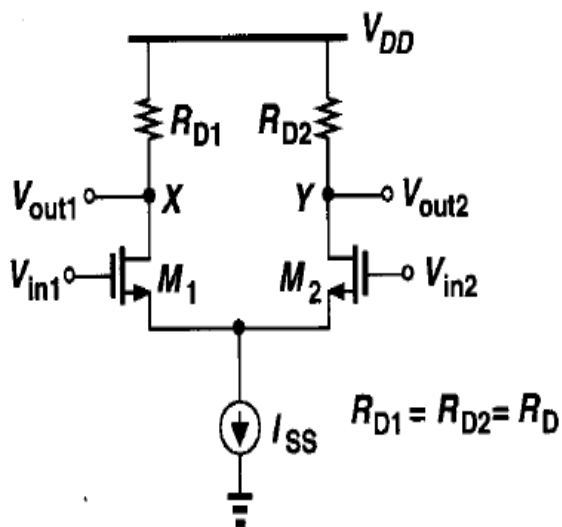
尾电流源 $I_{SS} = I_{D1} + I_{D2}$ 单独设置，
单边**直流**输出电压不依赖 V_{inCM} 。
尾电流源的目的：设置输出支路的直流
工作点（共模）电流！

图4.7 基本差动对

设 $M1$ 、 $M2$ 非截止区，尾电流源 $M3$ 处于饱和区，
当大(总)信号 $V_{in1} = V_{in2} = V_{inCM}$ 时，
输出共模电平 $V_{outCM} = V_{DD} - R_D \cdot I_{SS} / 2$



4.2.1 Qualitative analysis 定性分析



$$I_{SS} = I_{D1} + I_{D2}$$

$$\begin{aligned} \text{当 } V_{in1} = V_{in2} = V_{inCM}, \\ V_{out1} = V_{out2} = V_{outCM} \\ = V_{DD} - R_D \cdot I_{SS} / 2 \end{aligned}$$

具有尾电流源的差动对特性：

- (1) 输出直流电平与共模输入电平无关；
- (2) 小信号增益当 $V_{in1} = V_{in2}$ 时（平衡状态 equilibrium）最大，且随 $|V_{in1} - V_{in2}|$ 的增大而减小，即有非线性

V_{in1} 很低时 $M1$ 截止， $I_{D2} = I_{SS}$ ，
 $V_{out1} = V_{DD}$ ， $V_{out2} = V_{DD} - R_D \cdot I_{SS}$ 最低；
 V_{in1} 很高时两边输出与 V_{in1} 很低时相反

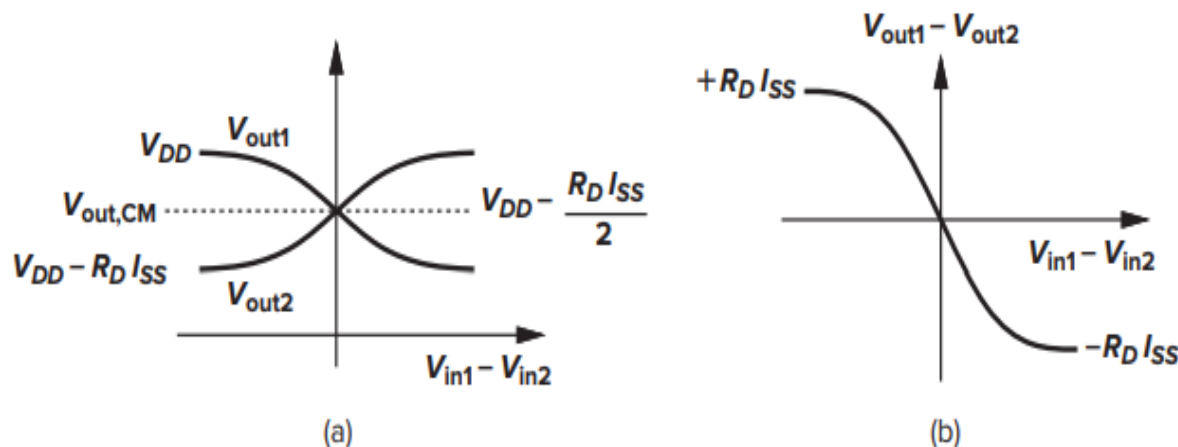
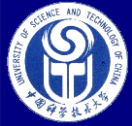


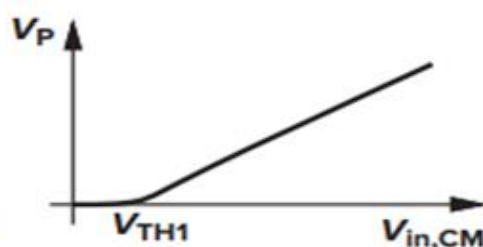
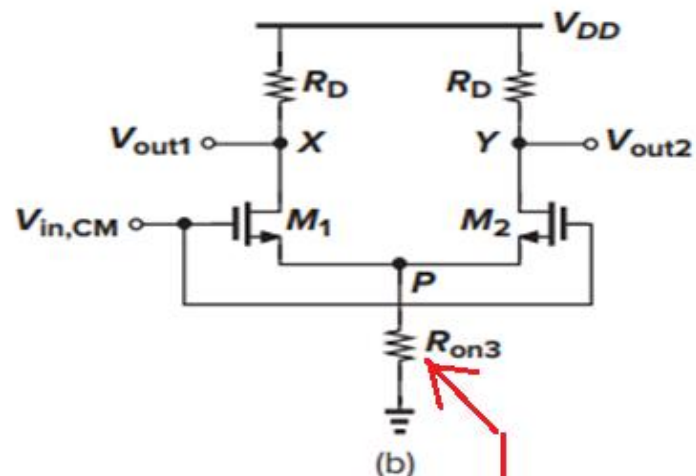
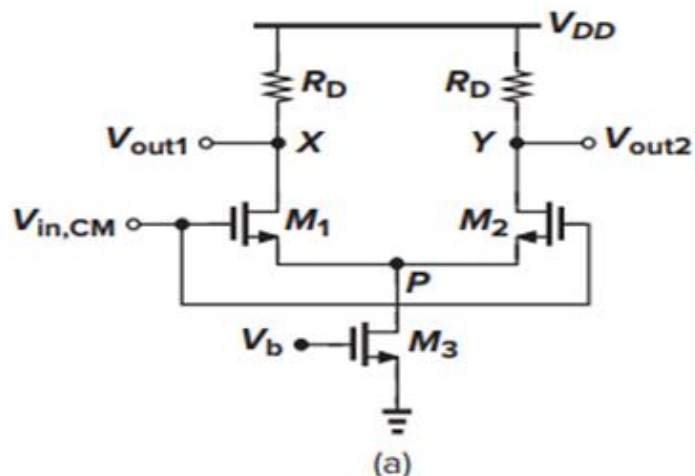
Figure 4.8 Differential input-output characteristics of a differential pair.

V_{in1} 与 V_{out1} 反向



Common-mode (CM) behavior

$V_{in1}=V_{in2}=V_{inCM}$, 则 $V_{out1}=V_{out2}=V_{outCM}$



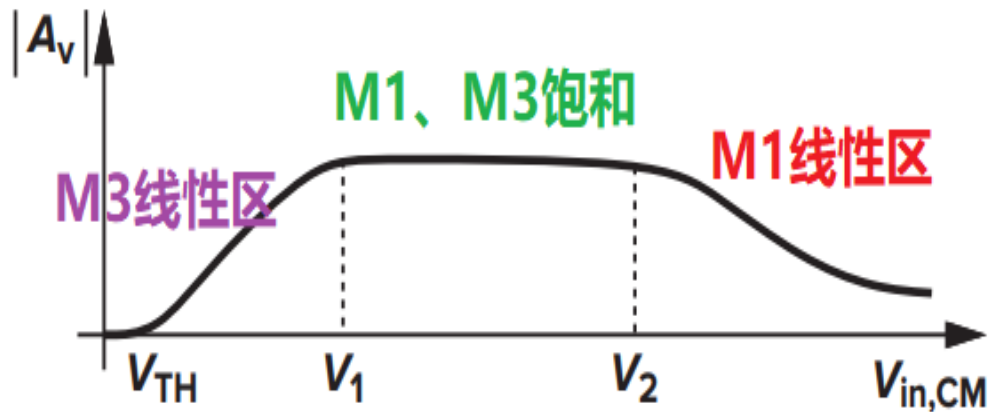
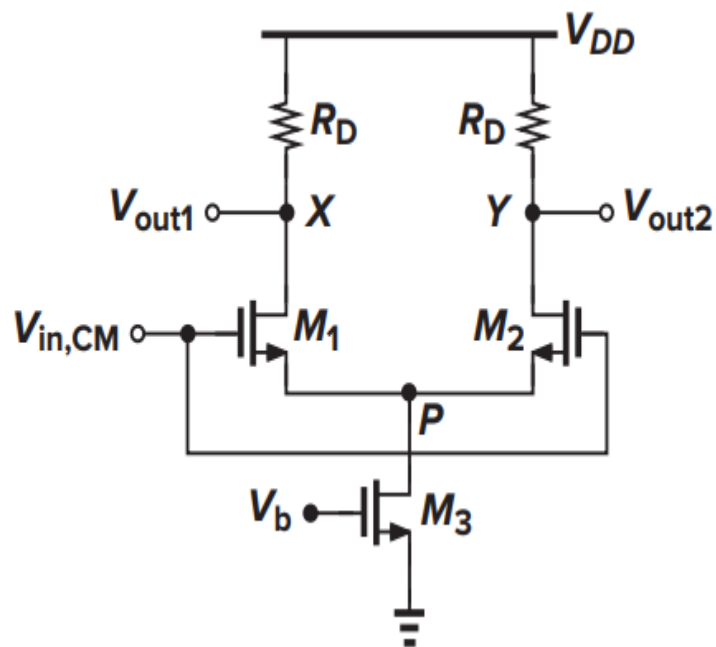
(c)

CM 输入范围: $M1(M2)$ 、 $M3$ 在饱和区, $V_{GS1} = V_{TH1} + V_{OD1}$

$$V_{DD} - R_D I_{SS} / 2 + V_{TH1} \geq V_{in,CM} \geq V_{TH1} + V_{OD1} + (V_b - V_{TH3})$$



例4.2 基本差动对的gain与 $V_{in,CM}$ 关系



共模输入时，M1与M2状态相同

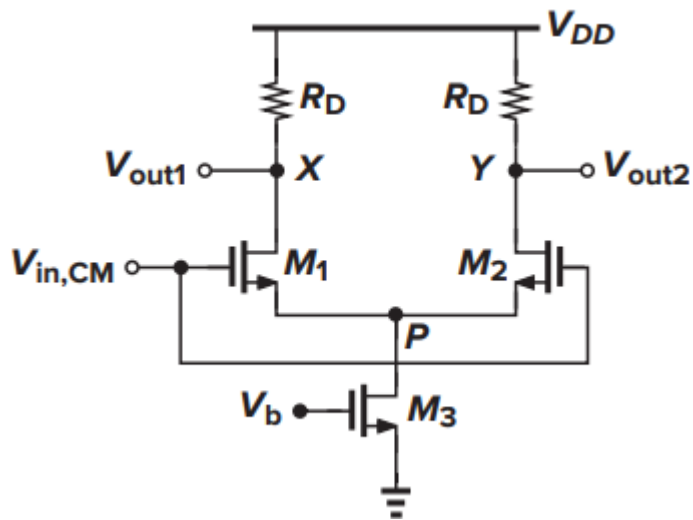
$$V_1 = V_{GS1} + (V_b - V_{TH3}) = V_{TH1} + V_{OD1} + (V_b - V_{TH3})$$

$$V_2 = V_{DD} - R_D I_{SS}/2 + V_{TH1}$$

$$V_{OD1} = \sqrt{\frac{I_{SS}}{\mu_n C_{ox} \left(\frac{W}{L}\right)_1}} = \sqrt{\frac{I_{D3}}{\mu_n C_{ox} \left(\frac{W}{L}\right)_1}}$$



差动电路共模增益：应很小



共模输入时，X和Y电平相同，
相当于差动对两边并联，可
看作合并为一个带源极负反
馈的共源级。

$M = M_1 + M_2$ ，宽长比为 $2W_1/L$ ，
负载 $R_D/2$

当沟道长度调制效应可忽略时：

$$A_{vCM} (\text{或记 } A_{vc}) = \frac{\partial V_{out}}{\partial V_{inCM}} = \frac{-R_D / 2}{\frac{1}{2g_m} + R_S} = \frac{-g_m R_D}{1 + 2g_m r_o} \approx \frac{-R_D}{2r_o}$$

共模CM“变化信号”实为两支路相同的噪声：

如：地噪声、输入共模噪声、

电源噪声（输出到下一级电路，成为输入共模噪声）、
以及温度漂移（低频）等。



Output voltage swing of a differential pair

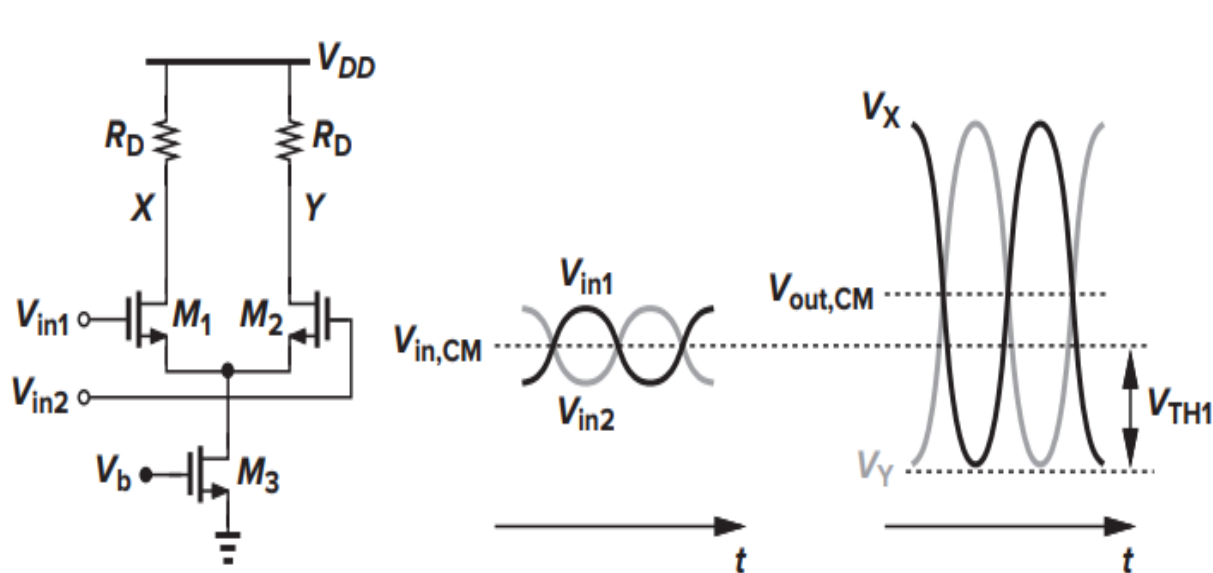
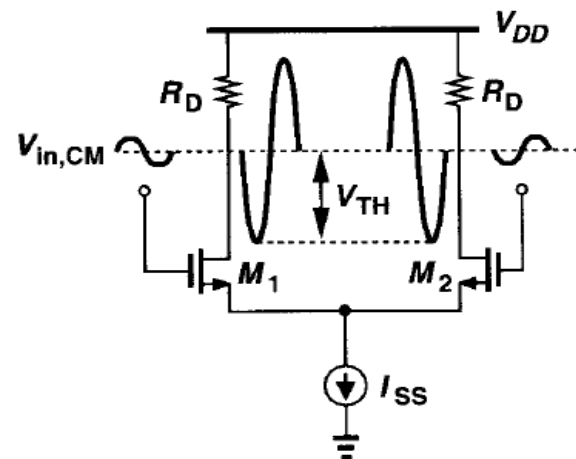


Figure 4.11 Maximum allowable output swings in a differential pair.



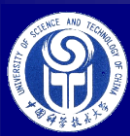
输入输出共模电平
相同便于级联

单边输出范围: $V_{DD} > V_{out} > V_{in,CM} - V_{TH1}$

共模电平大则输出范围小

$$V_{in,CM} \geq V_{GS1} + (V_{GS3} - V_{TH3})$$

较大的共模输入变化会使尾电流源或输出管进入线性区、改变小信号增益



4.2.2 quantitative analysis 定量分析

大信号特性：公式解析法

$$\begin{aligned}\Delta V_{out} &= V_{out1} - V_{out2} = (V_{DD} - R_{D1}I_{D1}) - (V_{DD} - R_{D2}I_{D2}) \\ &= -R_D(I_{D1} - I_{D2}) = -R_D\Delta I_D\end{aligned}$$

$$\text{差动增益 } A_{vd} \text{ (或记 } A_v) = \frac{\partial (V_{out1} - V_{out2})}{\partial (V_{in1} - V_{in2})}$$

∂ 表示变化， Δ 表示差值

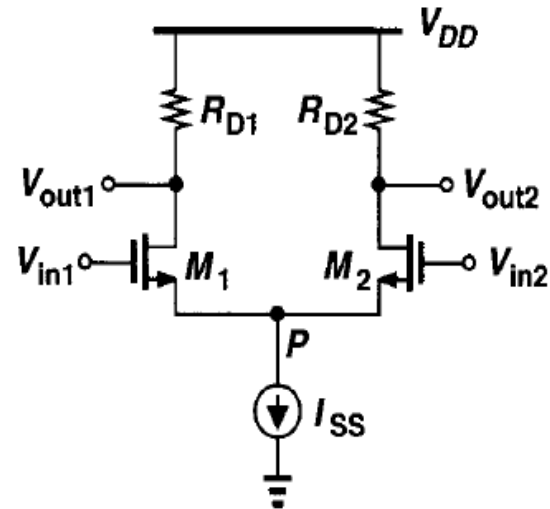
$$\because V_P = V_{in1} - V_{GS1} = V_{in2} - V_{GS2}$$

$$\therefore V_{in1} - V_{in2} = V_{GS1} - V_{GS2}$$

$$\text{差分电路跨导: } G_m = \frac{\partial (I_{D1} - I_{D2})}{\partial (V_{in1} - V_{in2})} = \frac{\partial \Delta I_D}{\partial \Delta V_{in}}$$

$$\text{计算}(V_{in1} - V_{in2}), \text{ 由 } V_{GS} = \sqrt{\frac{2I_D}{\mu_n C_{ox} \frac{W}{L}}} + V_{TH} \quad V_{in1} - V_{in2} = \sqrt{\frac{2I_{D1}}{\mu_n C_{ox} \frac{W}{L}}} - \sqrt{\frac{2I_{D2}}{\mu_n C_{ox} \frac{W}{L}}}, \text{ 式 (4.5)}$$

过驱动电压



设M1、M2工作在饱和区，
沟道长度调制效应可忽略

$$R_{D1} = R_{D2} = R_D$$



quantitative analysis (cont.)

计算 $(I_{D1} - I_{D2})$:

由 $I_{D1} + I_{D2} = I_{SS}$ 和公式 (4.5) 得 $(V_{in1} - V_{in2})^2 = \frac{2}{\mu_n C_{ox} \frac{W}{L}} (I_{SS} - 2\sqrt{I_{D1}I_{D2}})$

$$\rightarrow 2\sqrt{I_{D1}I_{D2}} = I_{SS} - \frac{1}{2} \mu_n C_{ox} \frac{W}{L} (V_{in1} - V_{in2})^2$$

$$\rightarrow 4I_{D1}I_{D2} = I_{SS}^2 - I_{SS} \left(\mu_n C_{ox} \frac{W}{L} \right) (V_{in1} - V_{in2})^2 + \frac{1}{4} \left(\mu_n C_{ox} \frac{W}{L} \right)^2 (V_{in1} - V_{in2})^4$$

$$\text{又} \because 4I_{D1}I_{D2} = (I_{D1} + I_{D2})^2 - (I_{D1} - I_{D2})^2 = I_{SS}^2 - (I_{D1} - I_{D2})^2$$

$$\therefore (I_{D1} - I_{D2})^2 = I_{SS}^2 - 4I_{D1}I_{D2} = I_{SS} \left(\mu_n C_{ox} \frac{W}{L} \right) (V_{in1} - V_{in2})^2 - \frac{1}{4} \left(\mu_n C_{ox} \frac{W}{L} \right)^2 (V_{in1} - V_{in2})^4$$

$$= \frac{1}{4} \left(\mu_n C_{ox} \frac{W}{L} \right)^2 (V_{in1} - V_{in2})^2 \times \left(\frac{4I_{SS}}{\mu_n C_{ox} \frac{W}{L}} - (V_{in1} - V_{in2})^2 \right)$$



定量分析（续）

$$\therefore \text{大信号} \Delta I_D = I_{D1} - I_{D2} = \frac{1}{2} \mu_n C_{ox} \frac{W}{L} (V_{in1} - V_{in2}) \sqrt{\frac{4I_{SS}}{\mu_n C_{ox} \frac{W}{L}} - (V_{in1} - V_{in2})^2}$$

$$= \frac{1}{2} \mu_n C_{ox} \frac{W}{L} \Delta V_{in} \sqrt{\frac{4I_{SS}}{\mu_n C_{ox} \frac{W}{L}} - \Delta V_{in}^2} \quad \text{式 (4.9)}$$

差分对VI **线性**比
单管MOSFET好！

$$G_m = \frac{\partial \Delta I_D}{\partial \Delta V_{in}} = \frac{1}{2} \mu_n C_{ox} \frac{W}{L} \left(\sqrt{\frac{4I_{SS}}{\mu_n C_{ox} \frac{W}{L}} - \Delta V_{in}^2} - \frac{\Delta V_{in}}{\sqrt{\frac{4I_{SS}}{\mu_n C_{ox} \frac{W}{L}} - \Delta V_{in}^2}} \right)$$

$$= \frac{1}{2} \mu_n C_{ox} \frac{W}{L} \frac{\frac{4I_{SS}}{\mu_n C_{ox} \frac{W}{L}} - 2\Delta V_{in}^2}{\sqrt{\frac{4I_{SS}}{\mu_n C_{ox} \frac{W}{L}} - \Delta V_{in}^2}}$$

$\Delta V_{in} = 0$ 时达最大跨导（增益）： $G_m = g_m$

$$g_m = \sqrt{2\mu_n C_{ox} \frac{W}{L} I_{SS}/2}$$



quantitative analysis (cont.)

$$\text{差动增益 } A_{vd} = \frac{\partial (V_{out1} - V_{out2})}{\partial (V_{in1} - V_{in2})} = -G_m R_D$$

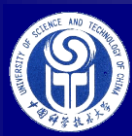
$\approx -g_m R_D$, 前提条件? 差动信号在共模 (平衡点) 附近

当全部 I_{SS} 流过其中一个MOS时, 另一个FET截止。最大差模输入:

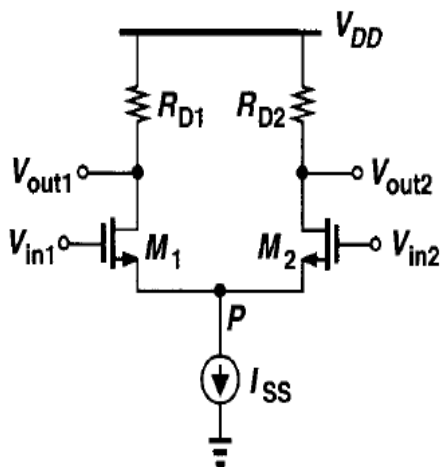
$$\text{由式 (4.5)} \quad \Delta V_{inMAX} = V_{in1} - V_{in2} = \sqrt{\frac{2I_{D1}}{\mu_n C_{ox} \frac{W}{L}}} - \sqrt{\frac{2I_{D2}}{\mu_n C_{ox} \frac{W}{L}}} = \sqrt{\frac{2I_{SS}}{\mu_n C_{ox} \frac{W}{L}}}$$

推论: 若输入管 W/L 小或尾电流源 I_{SS} 大, 则差动输入变化范围可以较大。

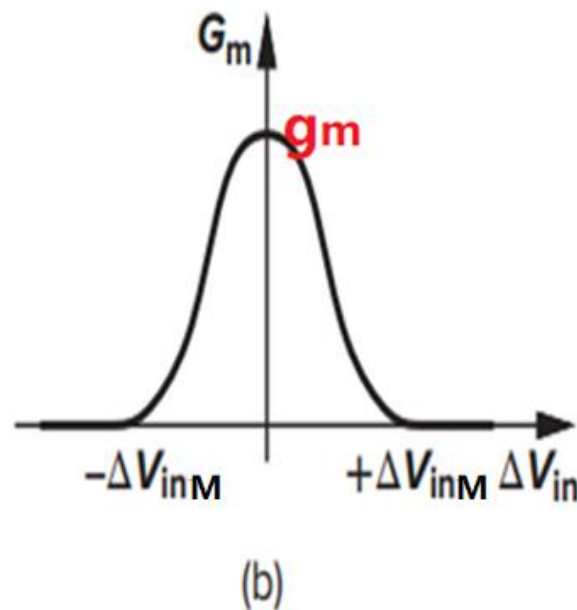
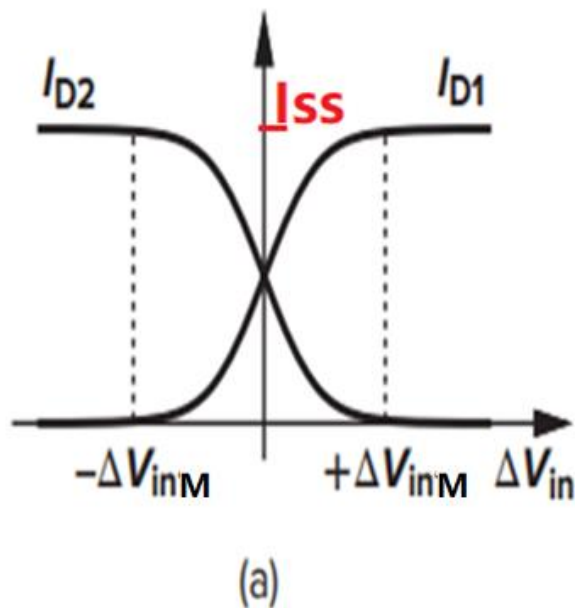
$$\text{问题: 由式 (4.9)} \quad \Delta V_{in} = \sqrt{\frac{4I_{SS}}{\mu_n C_{ox} \frac{W}{L}}} \text{ 时, } \Delta I_D = 0 \text{ 对吗?}$$



差动对漏极电流和跨导~输入关系



$$\Delta V_{in} = V_{in1} - V_{in2}$$

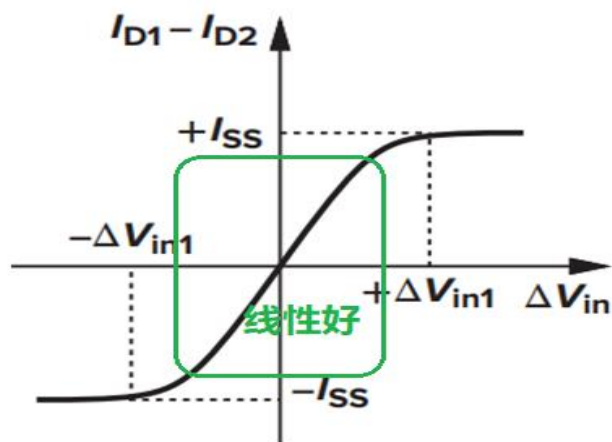
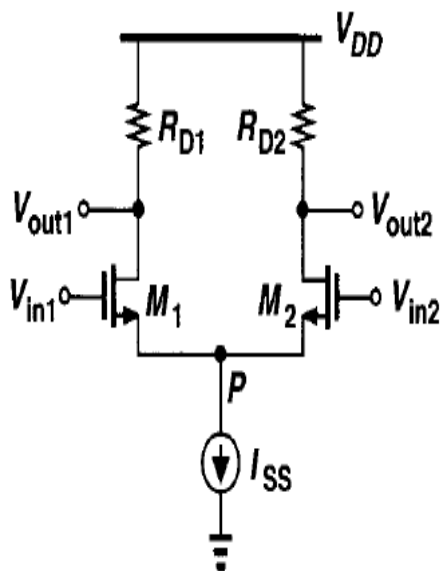


$$\Delta V_{inM} = \Delta V_{inMAX} = \sqrt{\frac{2I_{SS}}{\mu_n C_{ox} \frac{W}{L}}} = V_{GS1MAX} - V_{GS2MIN} = V_{GS1MAX} - V_{TH}$$

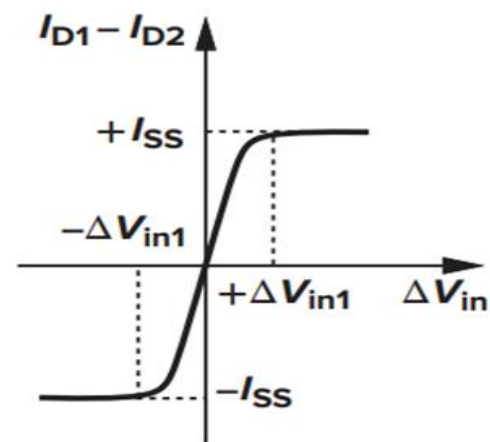
较大的**最大差模输入范围**好处是：线性范围较大！



增大 I_{SS} 和减小 W/L 可使线性得到改善



(a)

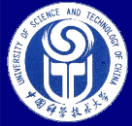


(b)

较大的输入（交变）信号使输出产生非线性

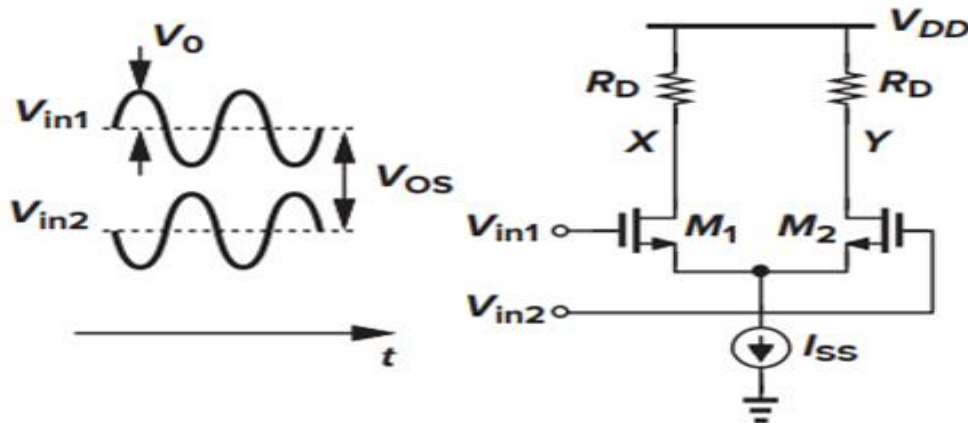
$$\text{记电路可以处理的最大差模输入 } \Delta V_{in1} = \Delta V_{inMAX} = \sqrt{\frac{2I_{SS}}{\mu_n C_{ox} \frac{W}{L}}}$$

$$= \sqrt{\frac{2 \times \frac{2I_{SS}}{2}}{\mu_n C_{ox} \frac{W}{L}}} = \sqrt{\frac{2 \times 2I_{D1CM}}{\mu_n C_{ox} \frac{W}{L}}} = \sqrt{2}V_{OD1}, \quad V_{OD1} = V_{GS1} - V_{TH}$$



例4.5 差动输入直流电平失衡 V_{OS} 情况

假设失衡电压 $V_{OS} = \Delta V_{in1}/2$ ，式中 $\Delta V_{in1} = \Delta V_{inMAX} = \sqrt{\frac{2I_{SS}}{\mu_n C_{ox} \frac{W}{L}}}$



画出输出电压波形，
求信号电压增益。

失衡，用大信号分析。
利用： $I_{SS} = I_{D1} + I_{D2}$
求 I_{D1} 和 I_{D2}

$V_{OS} = \text{直流 } V_{in1} - V_{in2}$

$$\text{由式 (4.9) } \Delta I_D = I_{D1} - I_{D2} = \frac{1}{2} \mu_n C_{ox} \frac{W}{L} \Delta V_{in} \sqrt{\frac{4I_{SS}}{\mu_n C_{ox} \frac{W}{L}} - \Delta V_{in}^2}$$

$$= \sqrt{\mu_n C_{ox} \frac{W}{L} I_{SS}} V_{OS} \sqrt{1 - \frac{\mu_n C_{ox} \frac{W}{L}}{4I_{SS}} V_{OS}^2} = \frac{\sqrt{2}}{2} I_{SS} \sqrt{1 - \frac{2}{4 \times 2^2}} = \frac{\sqrt{7}}{4} I_{SS} \approx 0.66 I_{SS}$$



例4.5 失衡 V_{OS} 情况（续）

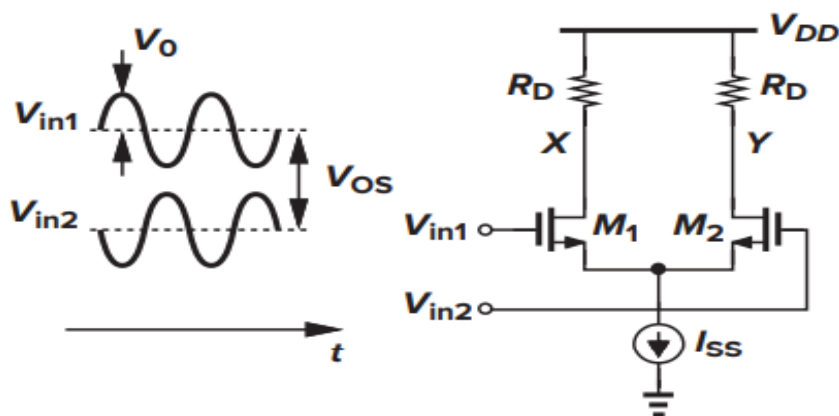
易得: 支路直流 $I_{D1}=0.83I_{SS}$, $I_{D2}=0.17I_{SS}$

直流电压 $V_X - V_Y = V_{DD} - I_{D1}R_D - (V_{DD} - I_{D2}R_D)$

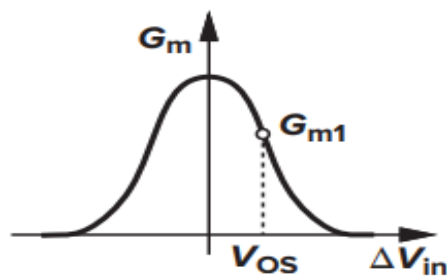
$= - (I_{D1} - I_{D2})R_D = 0.66I_{SS}R_D$

$$\Delta V_{in} = V_{OS} = \frac{1}{2} \sqrt{\frac{2I_{SS}}{\mu_n C_{ox} \frac{W}{L}}}$$

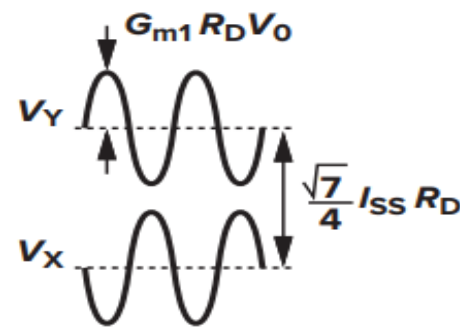
$$G_m = \frac{1}{2} \mu_n C_{ox} \frac{W}{L} \frac{\frac{4I_{SS}}{\mu_n C_{ox} \frac{W}{L}} - 2\Delta V_{in}^2}{\sqrt{\frac{4I_{SS}}{\mu_n C_{ox} \frac{W}{L}} - \Delta V_{in}^2}} = \frac{3I_{SS}}{2 \sqrt{\frac{7I_{SS}}{2\mu_n C_{ox} \frac{W}{L}}}} = \frac{3}{\sqrt{14}} \sqrt{\mu_n C_{ox} \frac{W}{L} I_{SS}}$$



(a)

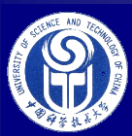


(b)



(c)

V_X 幅度较大! 低频情况需要消除失衡



Small-signal behavior of differential pairs

- Method 1: superposition

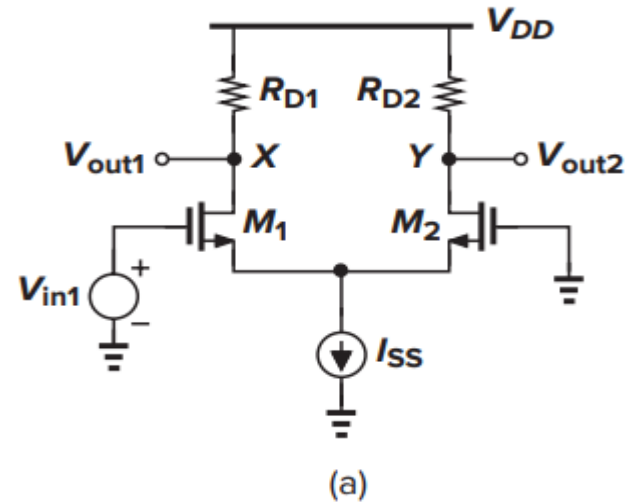
叠加法：线性电路多个输入时，每次用一个输入，计算 V_X 和 V_Y ，将多个结果相加

$$g_{m1} = g_{m2} = g_m$$

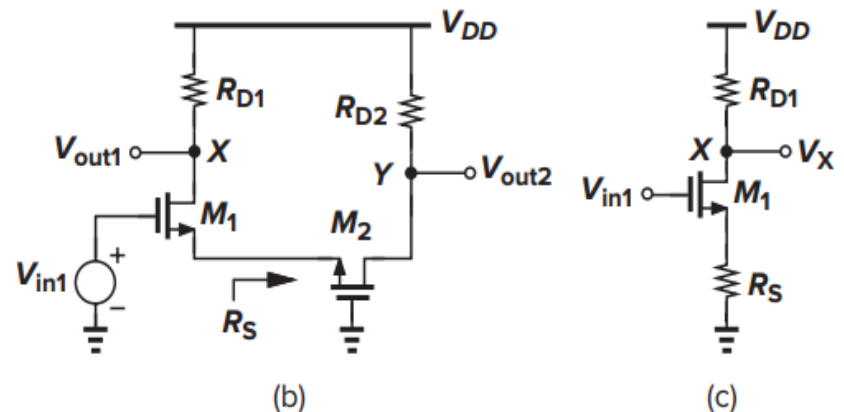
由 $I_{D2} = \frac{1}{2} \mu_n C_{ox} \frac{W}{L} (V_{GS2} - V_{TH})^2$ 忽略 λ 和 γ

$$R_s = \frac{\partial V_s}{\partial I_s} = \frac{1}{\frac{\partial I_s}{\partial V_s}} = \frac{1}{-\frac{\partial I_{D2}}{\partial V_{GS2}}} = \frac{1}{g_{m2}}$$

$$\frac{V_{X1}}{V_{in1}} = - \frac{R_D}{\frac{1}{g_{m1}} + \frac{1}{g_{m2}}} = - \frac{g_m R_D}{2}$$



计算 V_X





Set V_{in2} to zero: 计算 V_Y

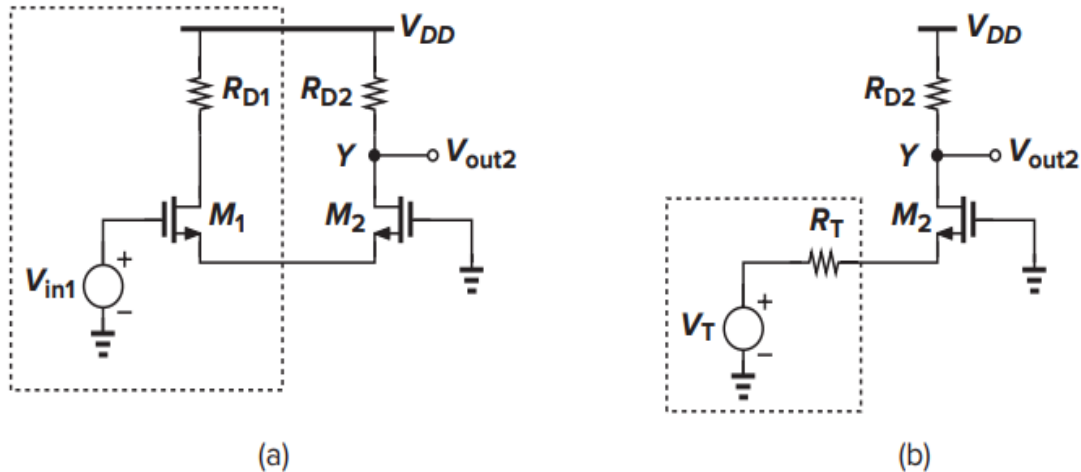
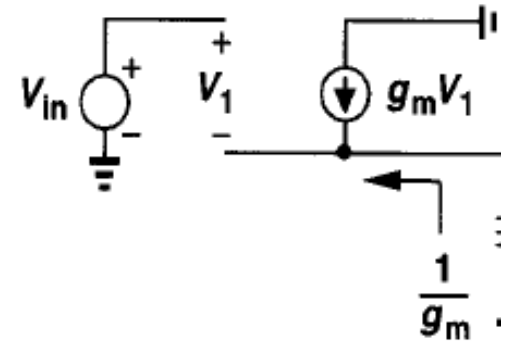


Figure 4.18 Replacing M_1 by a Thevenin equivalent.



$$\text{令 } V_{in1} = 0$$

$$R_T = \frac{-V_1}{-g_{m1}V_1} = \frac{1}{g_{m1}}$$

$$\text{开路电压: } V_T = I_{SC} * R_T = g_{m1}V_{in1} \times \frac{1}{g_{m1}} = V_{in1}$$

$$\text{小信号 } \frac{V_{Y1}}{V_{in1}} = \frac{R_D}{\frac{1}{g_{m1}} + \frac{1}{g_{m2}}} = \frac{g_m R_D}{2} \quad \therefore V_{X1} - V_{Y1} = -g_m R_D V_{in1}$$

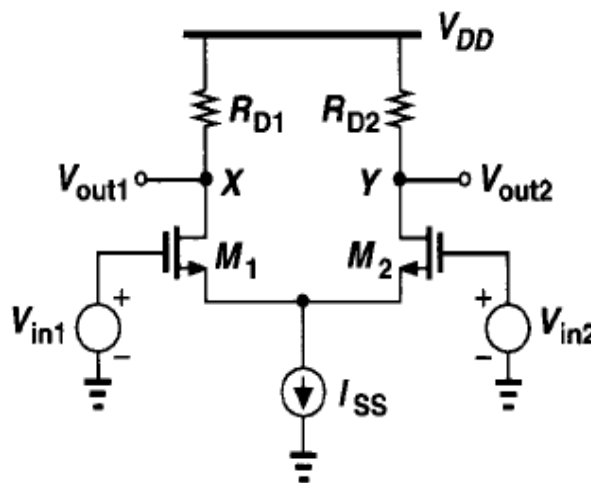


Superposition叠加法（续）

$$V_{in1}=0, \text{ 同理得: } V_{X2} - V_{Y2} = g_m R_D V_{in2} = -g_m R_D V_{in1}$$

$$\text{差动增益: } A_{vd} = \frac{V_X - V_Y}{V_{in1} - V_{in2}} = \frac{(V_{X1} + V_{X2}) - (V_{Y1} + V_{Y2})}{2V_{in1}} = -g_m R_D$$

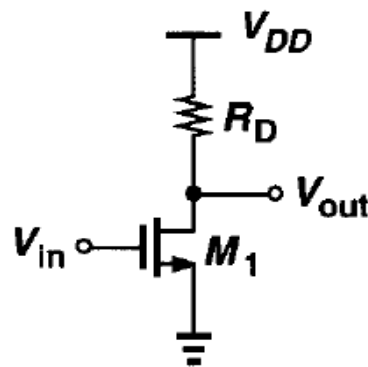
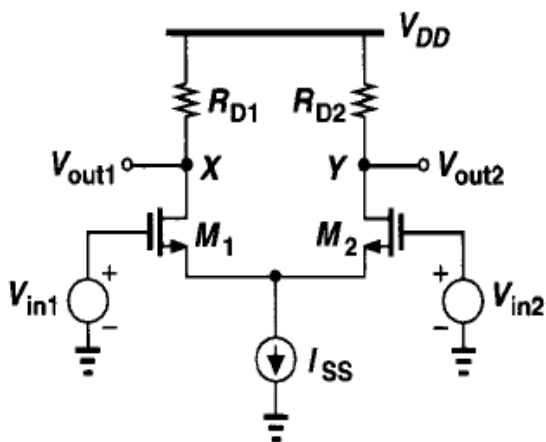
全差动电路的单边输出，
增益减半。





差动对与共源级的比较

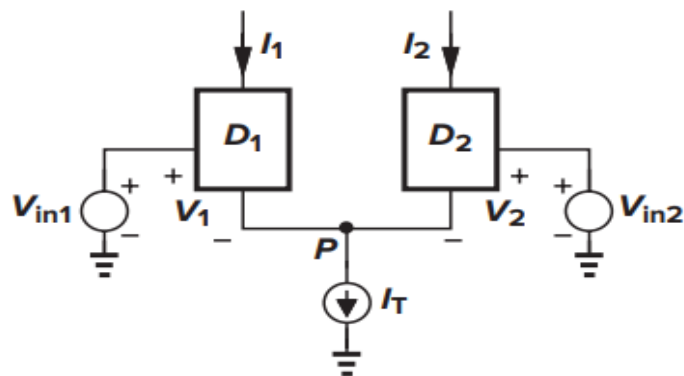
- 设总偏置**电流相同**，为 I_{SS} .
- 平衡状态下，差分对中**单边支路**M1 (M2) 偏置电流 $I_{D1}=I_{SS}/2$
- 差分对
$$g_m = \sqrt{2\mu_n C_{ox} \frac{W}{L} I_{D1}} = \sqrt{2\mu_n C_{ox} \frac{W}{L} \frac{I_{SS}}{2}}$$
- 相同功耗情况下，差分对增益为单管共源级放大器的 $\frac{1}{\sqrt{2}}$



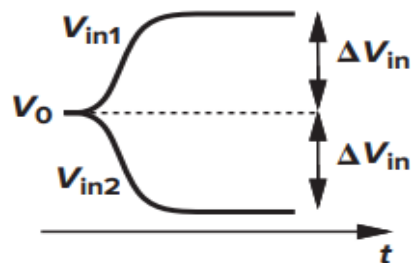


Method 2: concept of half circuit

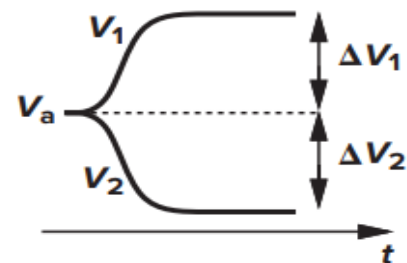
差动对称电路的“虚地”点概念：P点交变信号电压为0（很小或较小）。



(a)



(b)



(c)

设差分输入： $V_{in1} = V_{CM} + \Delta V$

$V_{in2} = V_{CM} - \Delta V$

I_T 为电流源， $\therefore g_m \Delta V_1 + g_m \Delta V_2 = 0$

若能保证2个管 g_m 相同，则 $\Delta V_1 = -\Delta V_2$

即 P点电位不变, 交流虚地！ 适合幅度变化小的信号！

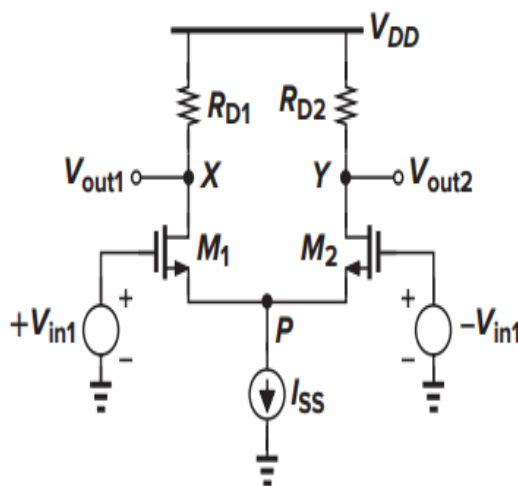


半边电路概念的应用

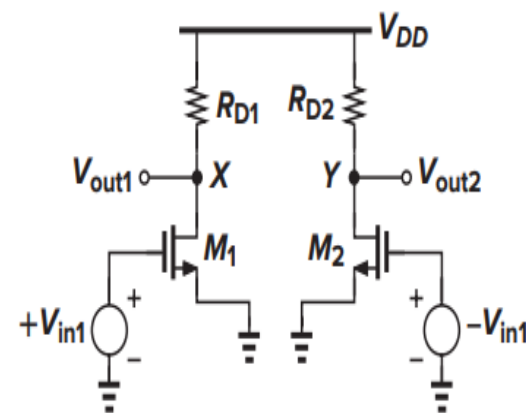
- 半边电路概念适合分析全差动输入的对称差动对。

$$\text{小信号 } \frac{V_X}{V_{in1}} = -g_m R_D$$

$$\frac{V_Y}{V_{in2}} = \frac{V_Y}{-V_{in1}} = -g_m R_D$$



(a)



(b)

Figure 4.22 Application of the half-circuit concept.

$$\text{差动增益 } A_v = \frac{V_X - V_Y}{V_{in1} - V_{in2}} = \frac{V_X - V_Y}{2V_{in1}} = -g_m R_D$$

半边电路计算简单（全差分结构、输入信号变化幅度小）



Example 4.7 计算差动增益

考虑沟道长度调制效应

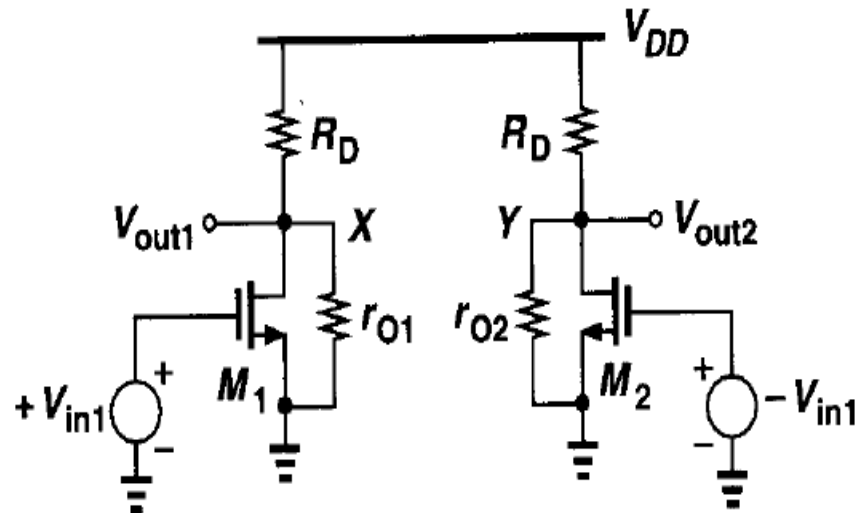
设 $r_{o1} = r_{o2} = r_o$

$$\frac{V_X}{V_{in1}} = -g_m (R_D \parallel r_o)$$

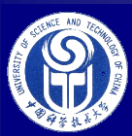
$$\frac{V_Y}{V_{in2}} = \frac{V_Y}{-V_{in1}} = -g_m (R_D \parallel r_o)$$

$$\text{即 } \frac{V_Y}{V_{in1}} = g_m (R_D \parallel r_o)$$

$$A_{vd} = \frac{V_X - V_Y}{V_{in1} - V_{in2}} = \frac{V_X - V_Y}{2V_{in1}} = -g_m (R_D \parallel r_o)$$



$$\lambda \neq 0 \Leftrightarrow r_o \neq \infty$$

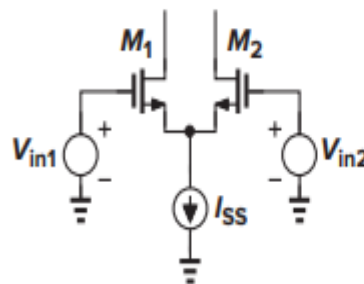


任何输入自动分解成差模信号分量+共模信号分量

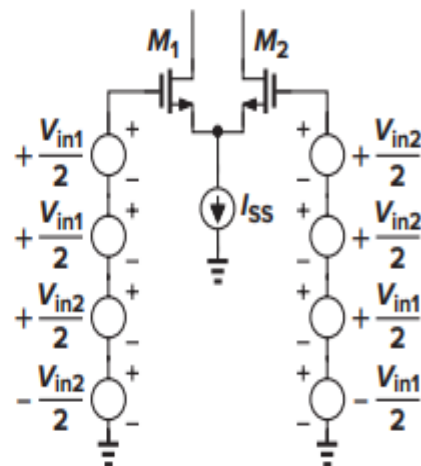
$$V_{in1} = \frac{V_{in1} - V_{in2}}{2} + \frac{V_{in1} + V_{in2}}{2}$$

$$V_{in2} = -\frac{V_{in1} - V_{in2}}{2} + \frac{V_{in1} + V_{in2}}{2}$$

对所有 V_{in} 均成立

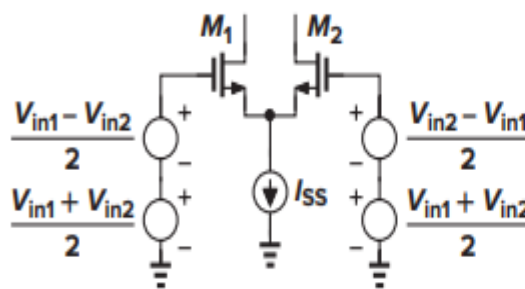


(a)

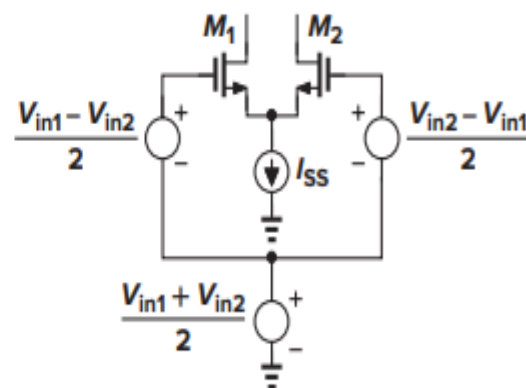


(b)

实际电路需要保证两边直流电压工作点一致，否则gm失配



(c)

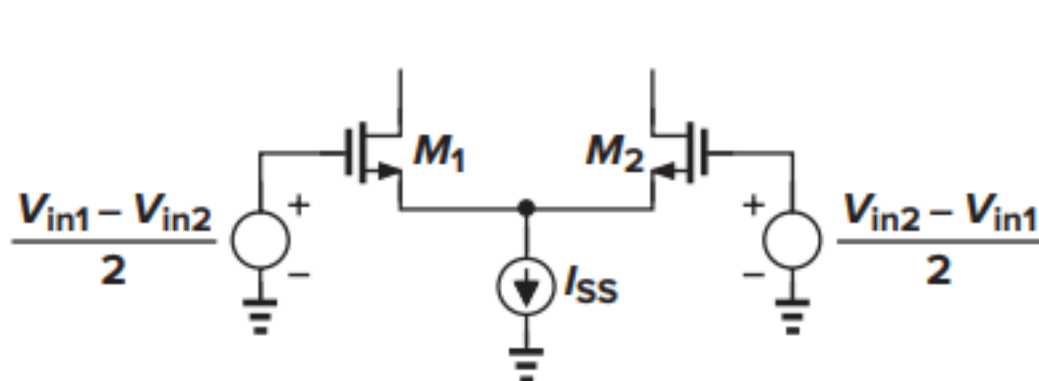


(d)

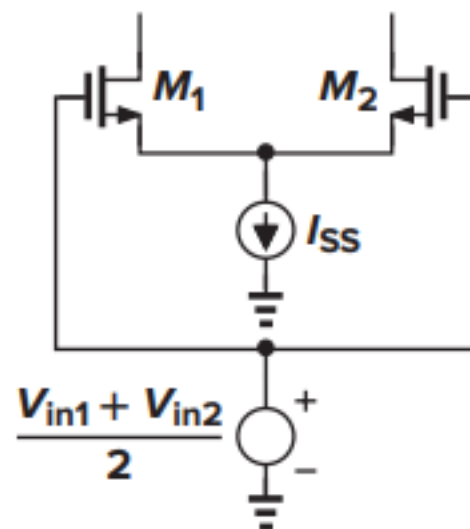
差动信号应无直流分量，
无论大小均视为变化量。



输入信号中的差模分量与共模分量（续）



(a)



(b)

原则上，总输出信号

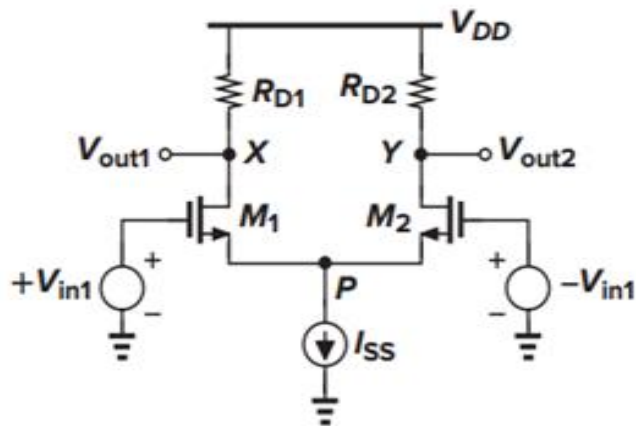
= 共模信号(噪声)输出 + 差模信号输出

= 共模增益（很小）* 共模信号（噪声） + 差模增益 * 差模信号

这里“增益”与采取**单边**输出还是**差动**输出有关。



Example 4.8



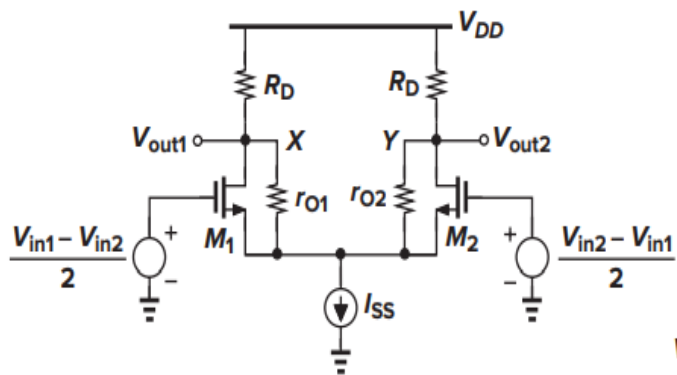
设 $V_{in1} \neq V_{in2}$, $\lambda \neq 0$, 计算 V_X 和 V_Y

● 差模小信号:

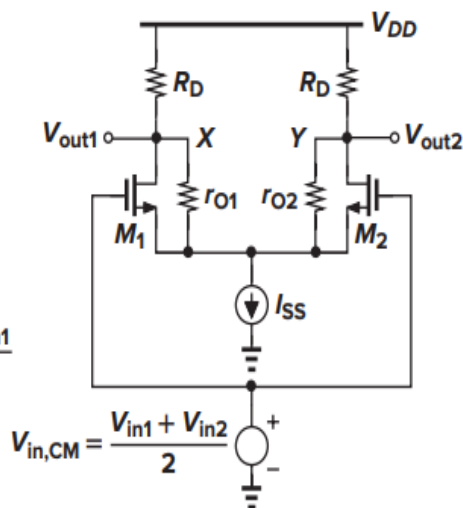
$$V_X = -g_m(R_D \parallel r_o) \frac{V_{in1} - V_{in2}}{2}$$

$$V_Y = -g_m(R_D \parallel r_o) \frac{V_{in2} - V_{in1}}{2}$$

$$V_X - V_Y = -g_m(R_D \parallel r_o)(V_{in1} - V_{in2})$$



(a)



(b)

● 共模小信号 (交变):

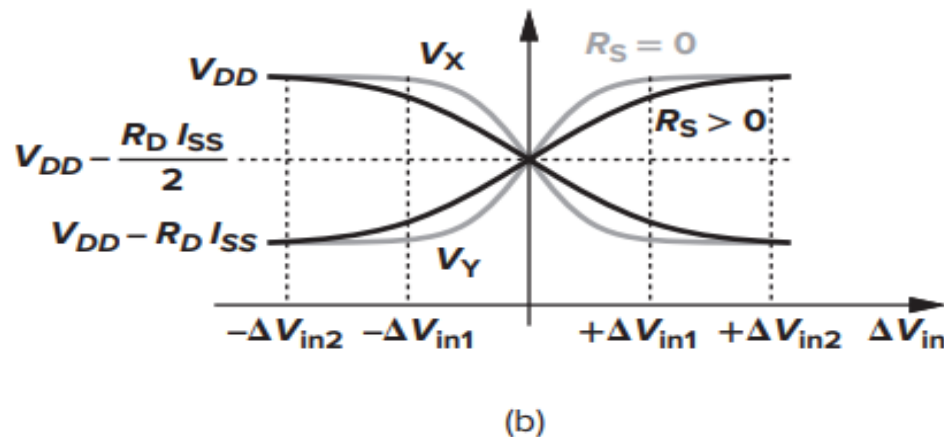
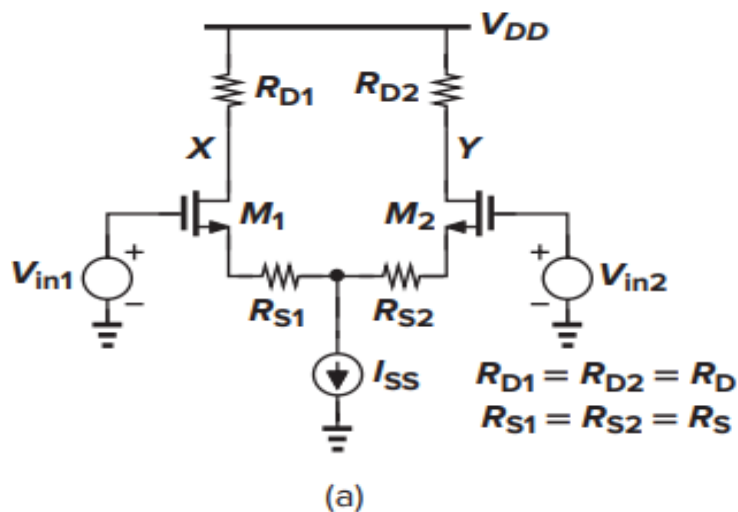
M1和M2的漏电流均为 $I_{ss}/2$, V_X 和 V_Y 不变。差动输出 $A_{CM}=0$, 共模抑制

若 $V_{in,CM} = (V_{in1} + V_{in2})/2$ 上升, 则 V_P 上升, I_{ss} 稍微上升 (沟道长度调制)。 V_X 和 V_Y 单端输出稍降。



4.2.3 带源极负反馈的差动对

提高线性度（大幅度信号时）：增大差动输入范围 $2 \cdot R_S$



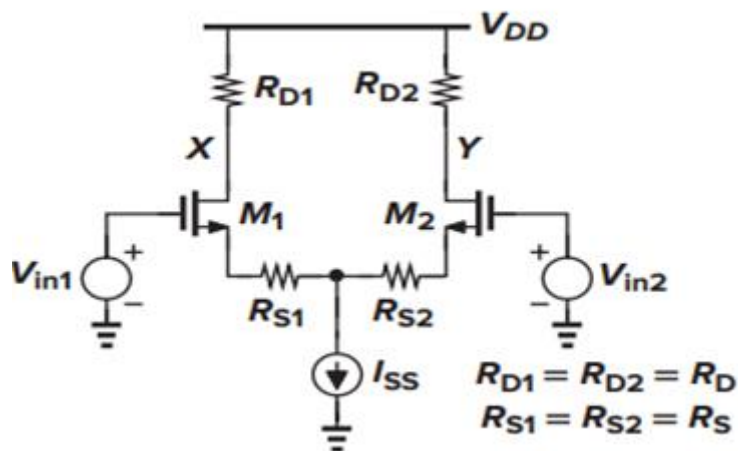
设差动输入很大，M2关断，则 $I_{D1} = I_{SS}$ ， $V_{GS2} = V_{TH}$

$V_{in1} - V_{GS1} - R_S I_{SS} = V_{in2} - V_{TH}$ ， $\Rightarrow V_{in1} - V_{in2} = V_{GS1} - V_{TH} + R_S I_{SS}$

$$\begin{aligned} \therefore R_S \neq 0 \text{ 时关断 } M2 \text{ 所需的输入差动电压 } \Delta V_{in2} &= \sqrt{\frac{2I_{SS}}{\mu_n C_{ox} \frac{W}{L}}} + R_S I_{SS} \\ &= \Delta V_{in1} \text{ (即 } R_S = 0 \text{ 时关断 } M2 \text{ 所需的输入差动电压)} + R_S I_{SS} \end{aligned}$$



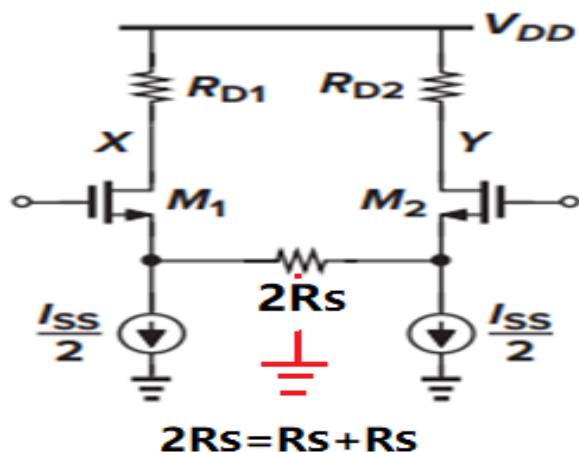
带源极负反馈的差动对：半边电路方法



设 $\lambda=0$, $\gamma=0$, $|A_{vd}| = \frac{R_D}{\frac{1}{g_m} + R_S}$,

$$A_{vCM} = \frac{\frac{R_D}{2}}{\frac{1}{(2g_m)} + \frac{R_S}{2} + r_{oss}} \approx 0$$

输入和输出共模电压
需提高 $R_S \cdot I_{SS}/2$



无直流电压余度损失的分
割尾电流源的负反馈差动对

中间为差动交变信号地



4.3 common mode response

- 差动放大器的重要特点是对共模噪声的抑制。
- 设电流源输出电阻 R_{SS} （理想值为无穷大）

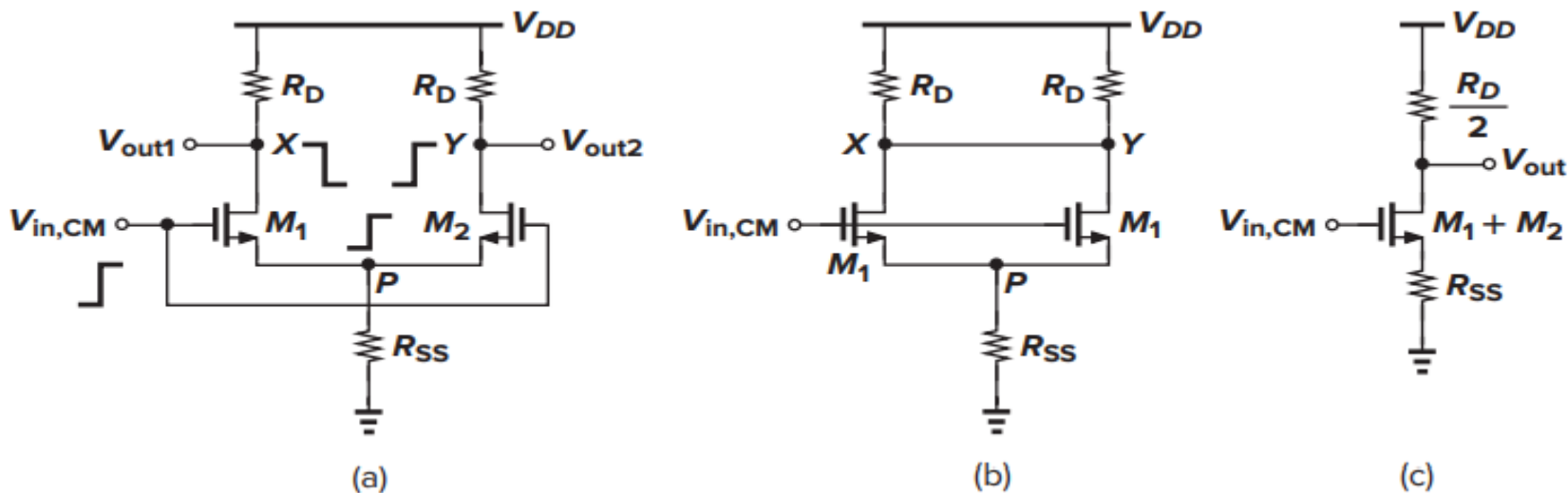


图4.29(a) 共模输入的差动对电路；图(a)的简化电路；图(b) 的等效电路(g_m 为单管的2倍)

$$A_{v,CM} = \frac{\partial V_{out}}{\partial V_{in,CM}} = - \frac{\frac{R_D}{2}}{\frac{1}{2g_m} + R_{SS}}, \text{ 式 (4.37)}$$

增大 R_{SS} ，减小 $A_{v,CM}$



Example 4.9

已知: $I_{SS} = 1\text{mA}$, $\left(\frac{W}{L}\right)_{1,2} = \frac{2.5}{0.5}$, $\mu_n C_{ox} = 50\mu\text{A}/\text{V}^2$,

$V_{TH} = 0.6\text{V}$, $\lambda = \gamma = 0$, $V_{DD} = 3.3\text{V}$

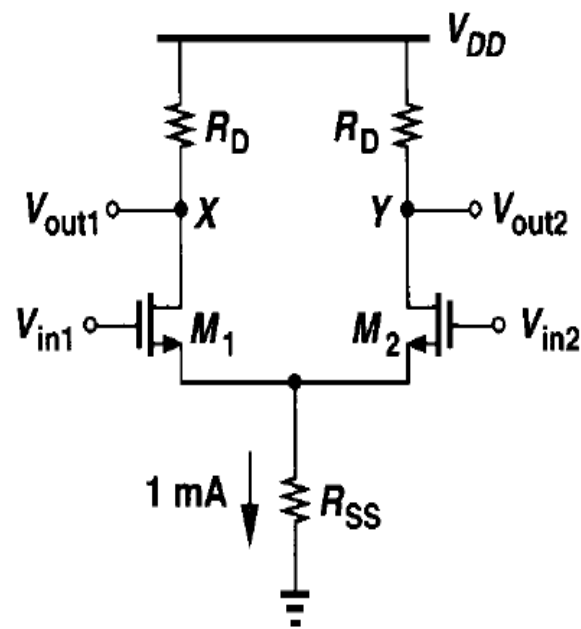
- (a) $V_{R_{SS}} = 0.5\text{V}$, 输入共模电压应是多少?
- (b) 差模增益=5时 $R_D = ?$
- (c) 输出共模电平? 最低单端输出电平?
- (d) 输入共模增加50mV, 输出变化多大?

解 (a) $V_{in,CM} = V_{GS} + V_{R_{SS}}$

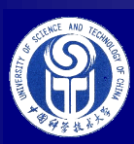
$$I_{D1} = I_{D2} = 0.5\text{mA}$$

$$V_{GS1} = V_{GS2} = \sqrt{\frac{2I_{D1}}{\mu_n C_{ox} \frac{W}{L}}} + V_{TH1} = 1.23\text{V}$$

$$V_{in,CM} = V_{GS} + V_{R_{SS}} = 1.23\text{V} + 0.5\text{V} = 1.73\text{V}$$



$$R_{SS} = \frac{0.5\text{V}}{1\text{mA}} = 500\Omega$$



Example 4.9 (cont.)

$$(b): \quad |A_v| = \left| \frac{\Delta V_{out}}{\Delta V_{in}} \right| = g_{m1} R_D = \sqrt{\mu_n C_{ox} \frac{W}{L} I_{SS} R_D} = 5$$

$$g_{m1} = \sqrt{2\mu_n C_{ox} \frac{W}{L} I_{D1}} = \sqrt{\mu_n C_{ox} \frac{W}{L} I_{SS}} = \frac{1}{632\Omega}$$

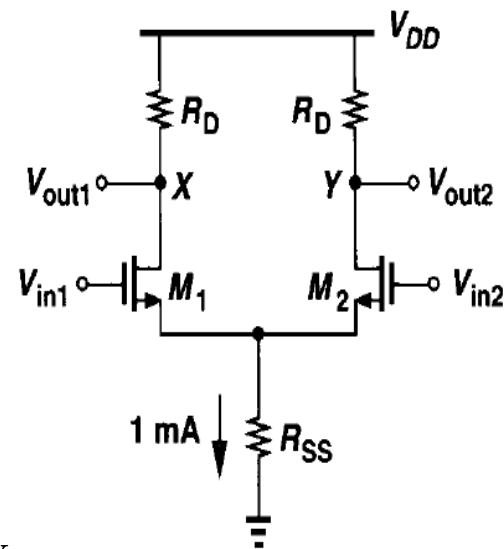
$$R_D = \frac{5}{g_{m1}} = 3.16k\Omega$$

$$(c): \text{共模输出 } V_X = V_{DD} - I_{D1} R_D = 3V - 0.5 * 3.16V = 1.42V$$

$$V_X \geq V_{in1} - V_{TH}$$

$$V_{X \min} = V_{in,CM} - V_{TH} = 1.73V - 0.6V = 1.13V$$

若输出电压减小0.29V（共模1.42V-最低1.13V）
M1(或M2)晶体管就会进入线性区。





Example 4.9 (cont.)

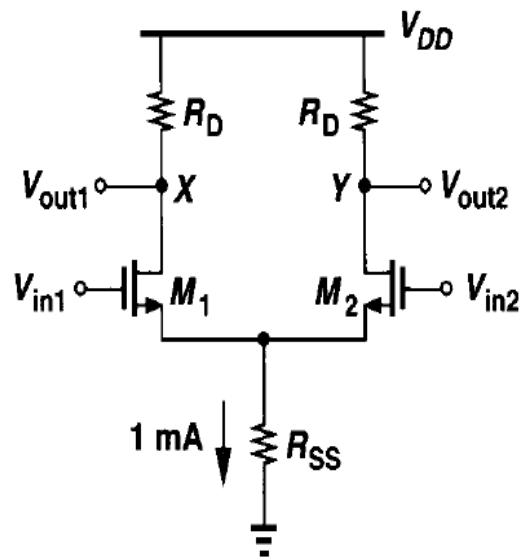
问题：（d）输入共模增加50mV，
输出变化多大？

$$(d) : \Delta V_{o,CM} = A_{v,CM} \Delta V_{in,CM} = - \frac{R_D/2}{\frac{1}{2g_m} + R_{SS}} \Delta V_{in,CM}$$

$$= - \frac{3160/2}{632/2 + 500} \times 50mV = -96.8mV$$

输出共模电平 = $1.42 - 0.0968 \approx 1.32V$

与 $V_{o,min} = 1.13V$ 相差不足 $0.2V$



结果表明该结构不好，共模增益大，共模抑制差。

原因是 R_{SS} 阻值太小（尾电流随输入电平变化）。



差分电路的问题：失配！

差分电路要求电路**严格对称**！

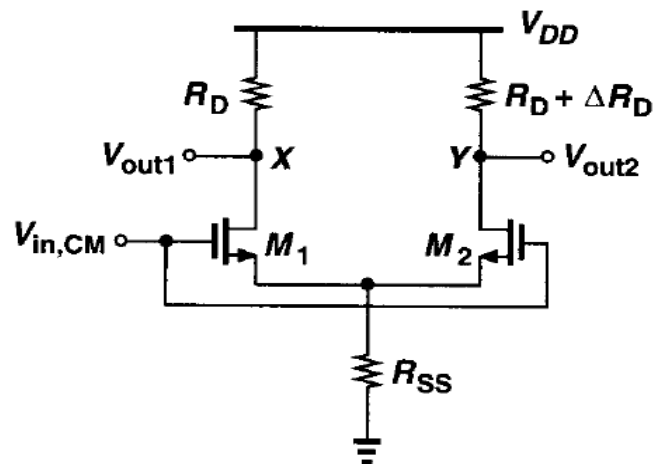
$$\text{小信号 } A_{v,CM} = \frac{\partial V_{out}}{\partial V_{in,CM}} = - \frac{R_D / 2}{\frac{1}{2g_m} + R_{SS}}$$

设负载失配 ΔR_D :

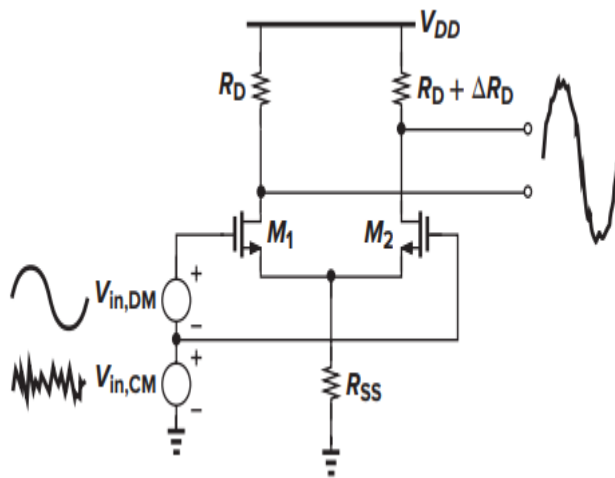
$$\Delta V_X \approx - \frac{R_D}{\frac{1}{g_m} + 2R_{SS}} \Delta V_{in,CM}, \quad \Delta V_Y \approx - \frac{R_D + \Delta R_D}{\frac{1}{g_m} + 2R_{SS}} \Delta V_{in,CM}$$

导致共模输入产生差动输出，共模噪声对输出影响很大。 R_{SS} 越大越好。

总结：差动电路的共模响应取决于尾电流源和电路非对称性。
失配导致输入共模信号在输出端产生差模分量。

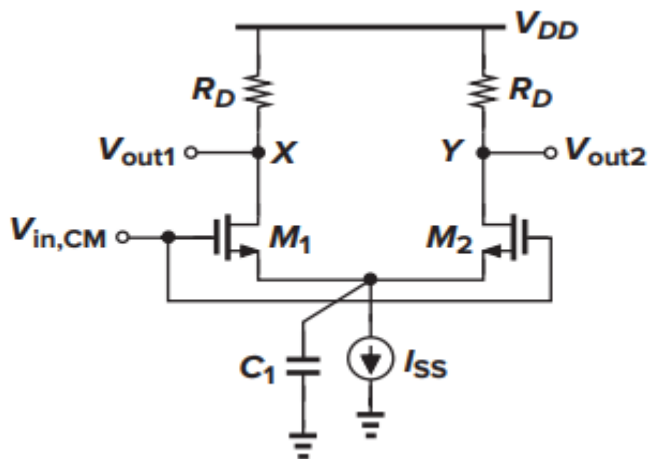


$$R_{SS} = 2R_{SS} || 2R_{SS}$$





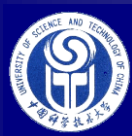
失配导致共模噪声转换为差模噪声“信号”



若尾电流源尺寸太大，则寄生电容 C_1 大，高频时尾电流源的输出阻抗减小，不好。

实际差分电路的不对称性产生失配，主要来自输入晶体管，工艺误差造成的阈值电压和尺寸（包括版图不平衡）不一致，体现为 g_m 不同、电流不同。

差动结构缺点：对工艺质量（失配）敏感，功耗稍大，版图要求对称。



共模输入噪声影响：输入管不匹配情况

交变小信号

全部V和I都是小信号交变量

$$I_{D1} = g_{m1}(V_{in,CM} - V_P), \quad I_{D2} = g_{m2}(V_{in,CM} - V_P)$$

$$\Rightarrow V_P = (I_{D1} + I_{D2})R_{SS} = (g_{m1} + g_{m2})(V_{in,CM} - V_P)R_{SS}$$

$$\text{上式右2式合并同类项: } V_P = \frac{(g_{m1} + g_{m2})R_{SS}}{1 + (g_{m1} + g_{m2})R_{SS}} V_{in,CM}$$

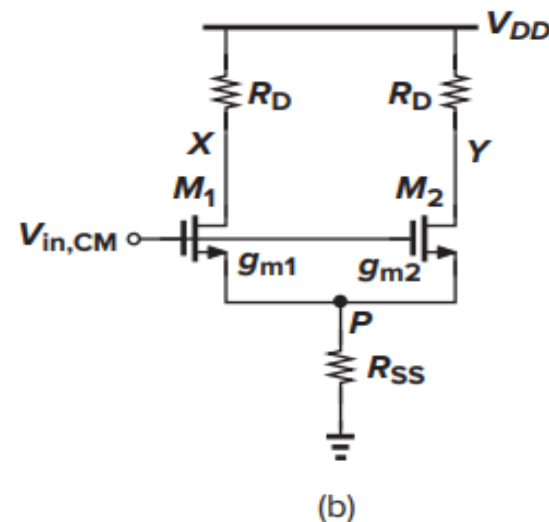
$$V_X = -I_{D1}R_D = -g_{m1}(V_{in,CM} - V_P)R_D = -g_{m1} \frac{1}{1 + (g_{m1} + g_{m2})R_{SS}} V_{in,CM} R_D$$

$$V_Y = -I_{D2}R_D = -g_{m2}(V_{in,CM} - V_P)R_D = -g_{m2} \frac{1}{1 + (g_{m1} + g_{m2})R_{SS}} V_{in,CM} R_D$$

由 g_{m1} 和 g_{m2} 失配产生的差动输出:

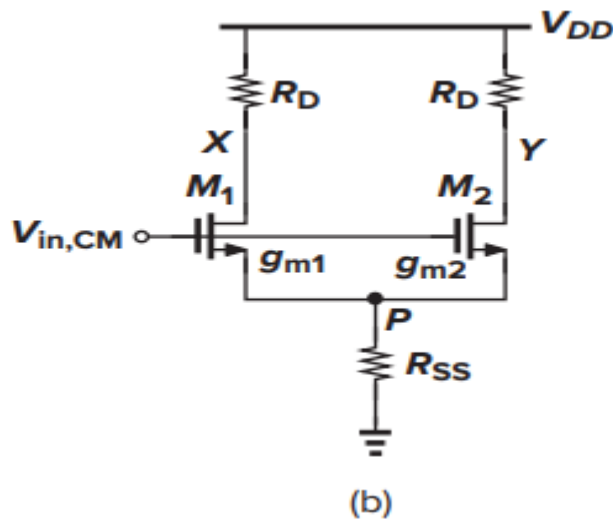
$$V_X - V_Y = -\frac{g_{m1} - g_{m2}}{(g_{m1} + g_{m2})R_{SS} + 1} V_{in,CM} R_D$$

应当极小





共模输入噪声：输入管不匹配情况（续）



共模噪声 $V_{in,CM}$ 转化成
差动小信号误差：

$$A_{CM-DM} = \frac{V_X - V_Y}{V_{in,CM}} = - \frac{g_{m1} - g_{m2}}{(g_{m1} + g_{m2})R_{SS} + 1} R_D = - \frac{\Delta g_m}{(g_{m1} + g_{m2})R_{SS} + 1} R_D, \quad \text{式 (4.53)}$$

R_{SS} 大有利于抑制失配的影响



Example 4.10

M3和M4的跨导失配 Δg_m 。会多大比例的**电源噪声（高频）**以差动分量的形式出现在输出端？

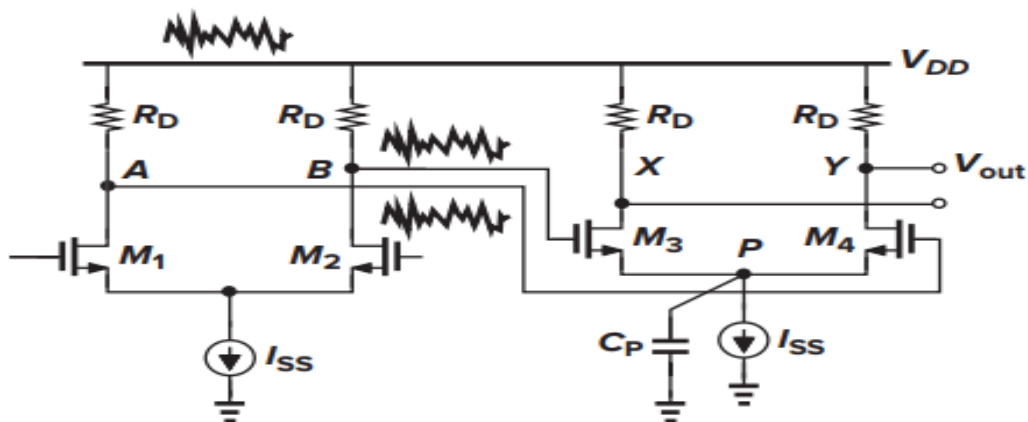
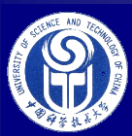


Figure 4.35

Assume $\lambda = \gamma = 0$.

解：电源噪声是共模噪声。尾电源源的交流阻抗很大，因此电源噪声全部加到A点和B点成为M3和M4的共模输入（**交变小信号**）。

$$A_{\text{CM-DM}} = \frac{V_X - V_Y}{V_{\text{in,CM}}} = - \frac{\Delta g_m}{(g_{m3} + g_{m4}) \left(\frac{1}{j\omega C_p} \parallel R_{SS} \right) + 1} R_D \quad |A_{\text{CM-DM}}| = \frac{|\Delta g_m|}{\sqrt{(g_{m3} + g_{m4})^2 \left| \frac{1}{\omega C_p} \right|^2 + 1}} R_D$$



共模抑制比Common-mode rejection ratio

$$\text{CMRR} = \left| \frac{A_{\text{DM}}}{A_{\text{CM-DM}}} \right| \quad \text{注意区别} \quad \left| \frac{A_{\text{DM}}}{A_{\text{CM}}} \right|$$

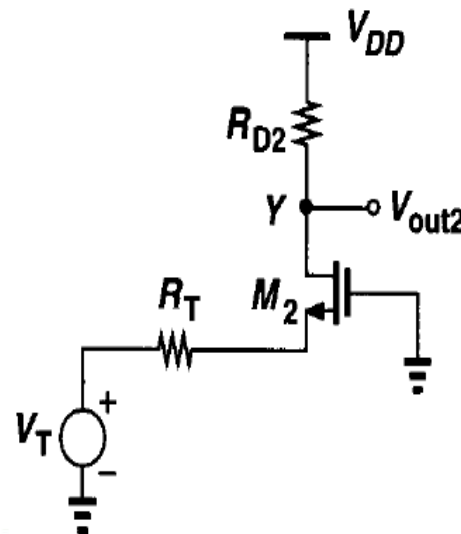
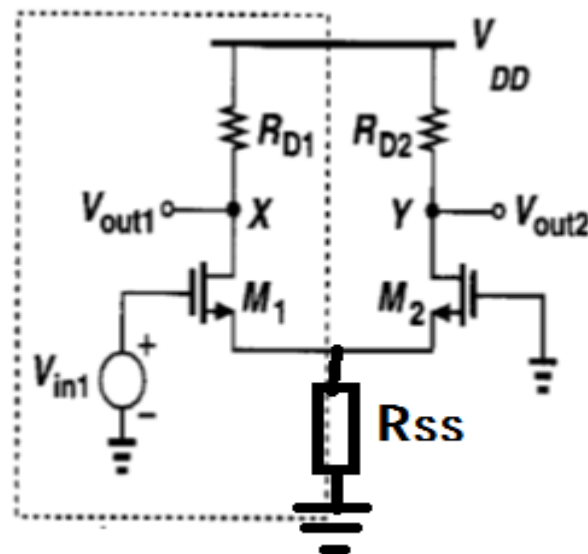
设MOS失配: $g_{m1} \neq g_{m2}$, I_{SS} 的 $R_{SS} \neq \infty$

采用叠加定律 (失配时半边电路分析不成立):

$$\text{令 } V_{in2} = 0, \quad \frac{V_X}{V_{in1}} = - \frac{R_D}{\frac{1}{g_{m1}} + \frac{1}{g_{m2}} \parallel R_{SS}}$$

$$R_T = \frac{1}{g_{m1}} \parallel R_{SS} = \frac{\frac{1}{g_{m1}} R_{SS}}{\frac{1}{g_{m1}} + R_{SS}} = \frac{R_{SS}}{1 + g_{m1} R_{SS}}$$

$$V_T = V_{in} g_{m1} \left(\frac{1}{g_{m1}} \parallel R_{SS} \right) = V_{in} \frac{g_{m1} R_{SS}}{1 + g_{m1} R_{SS}}$$





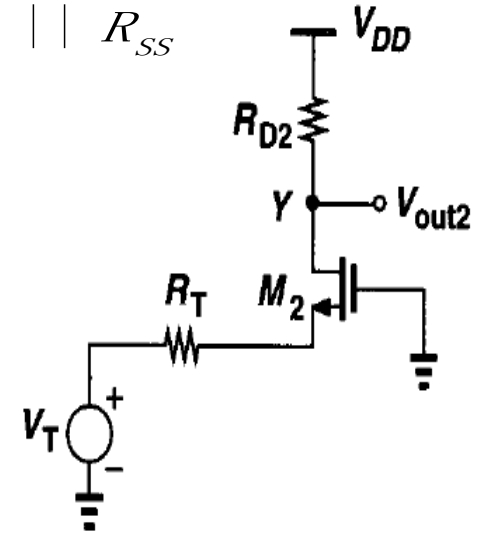
Common-mode rejection ratio (cont.)

$$\frac{V_{out2}}{V_T} = \frac{R_{D2}}{\frac{1}{g_{m2}} + R_T}$$

$$R_T = \frac{1}{g_{m1}} \parallel R_{SS}$$

$$\frac{V_y}{V_{in1}} = \frac{V_T}{V_{in1}} \times \frac{V_y}{V_T} = \frac{g_{m1} R_{SS}}{1 + g_{m1} R_{SS}} \times \frac{R_D}{\frac{1}{g_{m2}} + R_T}$$

$$= \frac{g_{m1} R_{SS}}{1 + g_{m1} R_{SS}} \times \frac{R_D}{\frac{1}{g_{m2}} + \frac{1}{g_{m1}} \parallel R_{SS}}$$



$$(V_X - V_Y)_{Vin1} = \left(\frac{-R_D}{\frac{1}{g_{m1}} + \frac{1}{g_{m2}} \parallel R_{SS}} - \frac{g_{m1} R_{SS}}{1 + g_{m1} R_{SS}} \times \frac{R_D}{\frac{1}{g_{m2}} + \frac{1}{g_{m1}} \parallel R_{SS}} \right) \times V_{in1}$$

$$\text{同理}(V_X - V_Y)_{Vin2} = \left(\frac{R_D}{\frac{1}{g_{m1}} + \frac{1}{g_{m2}} \parallel R_{SS}} \times \frac{g_{m2} R_{SS}}{1 + g_{m2} R_{SS}} + \frac{R_D}{\frac{1}{g_{m2}} + \frac{1}{g_{m1}} \parallel R_{SS}} \right) \times V_{in2}$$



CMRR (cont.)

$$\begin{aligned} \because V_{in1} &= -V_{in2} & A_{DM} &= \frac{(V_X - V_Y)_{tot}}{V_{in1} - V_{in2}} = \frac{(V_X - V_Y)_{in1} + (V_X - V_Y)_{in2}}{V_{in1} - V_{in2}} \\ & & &= -\frac{R_D}{2} \frac{g_{m1} + g_{m2} + 4g_{m1}g_{m2}R_{SS}}{1 + (g_{m1} + g_{m2})R_{SS}} \end{aligned} \quad (4.56)$$

$$\text{当 } g_{m1} = g_{m2} = g_m, \quad A_{DM} = -g_m R_D$$

$$\text{当 } g_{m1} \neq g_{m2}$$

$$\begin{aligned} \text{CMRR} &= \left| \frac{A_{DM}}{A_{CM-DM}} \right| = \left| \frac{-\frac{R_D}{2} \frac{g_{m1} + g_{m2} + 4g_{m1}g_{m2}R_{SS}}{1 + (g_{m1} + g_{m2})R_{SS}}}{-\frac{\Delta g_m}{(g_{m1} + g_{m2})R_{SS} + 1} R_D} \right| \\ &= \left| \frac{g_{m1} + g_{m2} + 4g_{m1}g_{m2}R_{SS}}{2\Delta g_m} \right| \end{aligned}$$

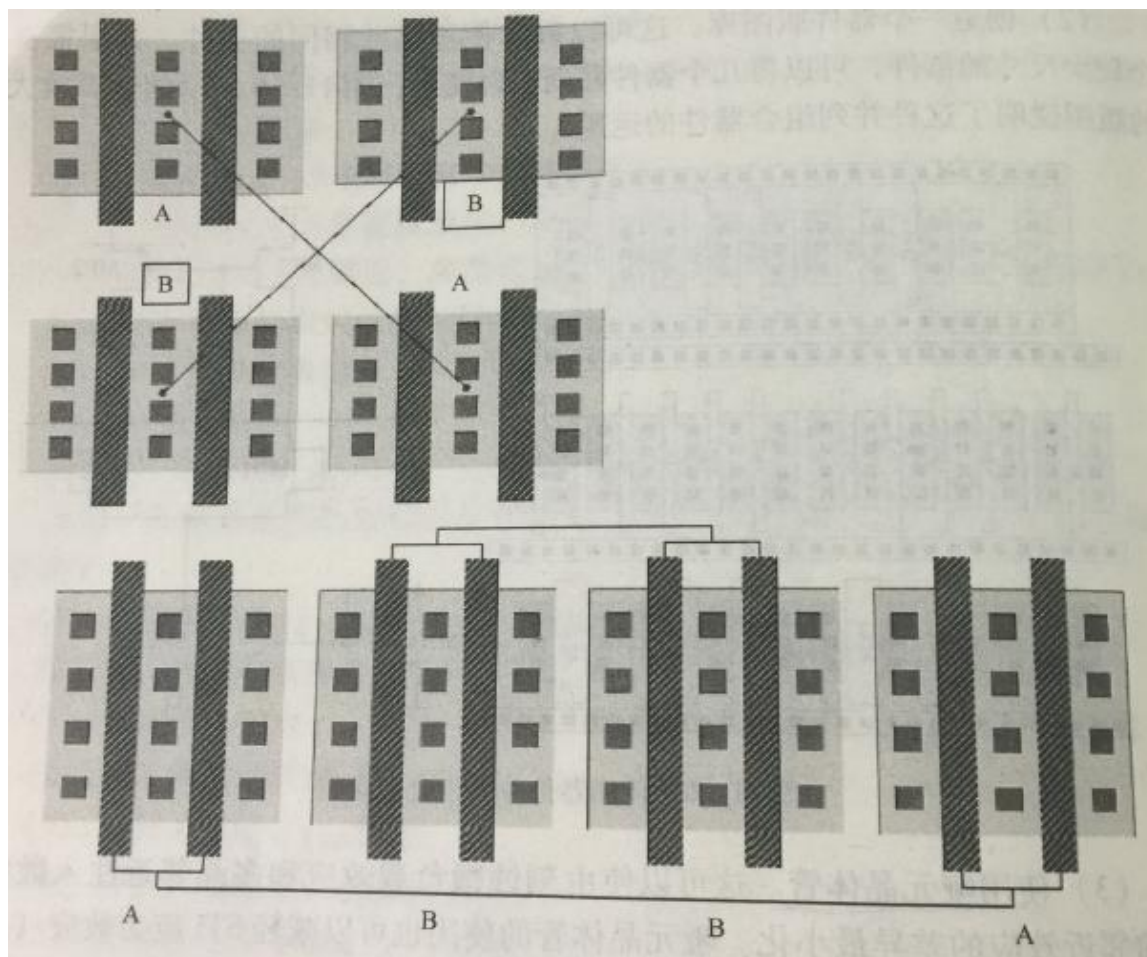


版图设计：质心法（对称）

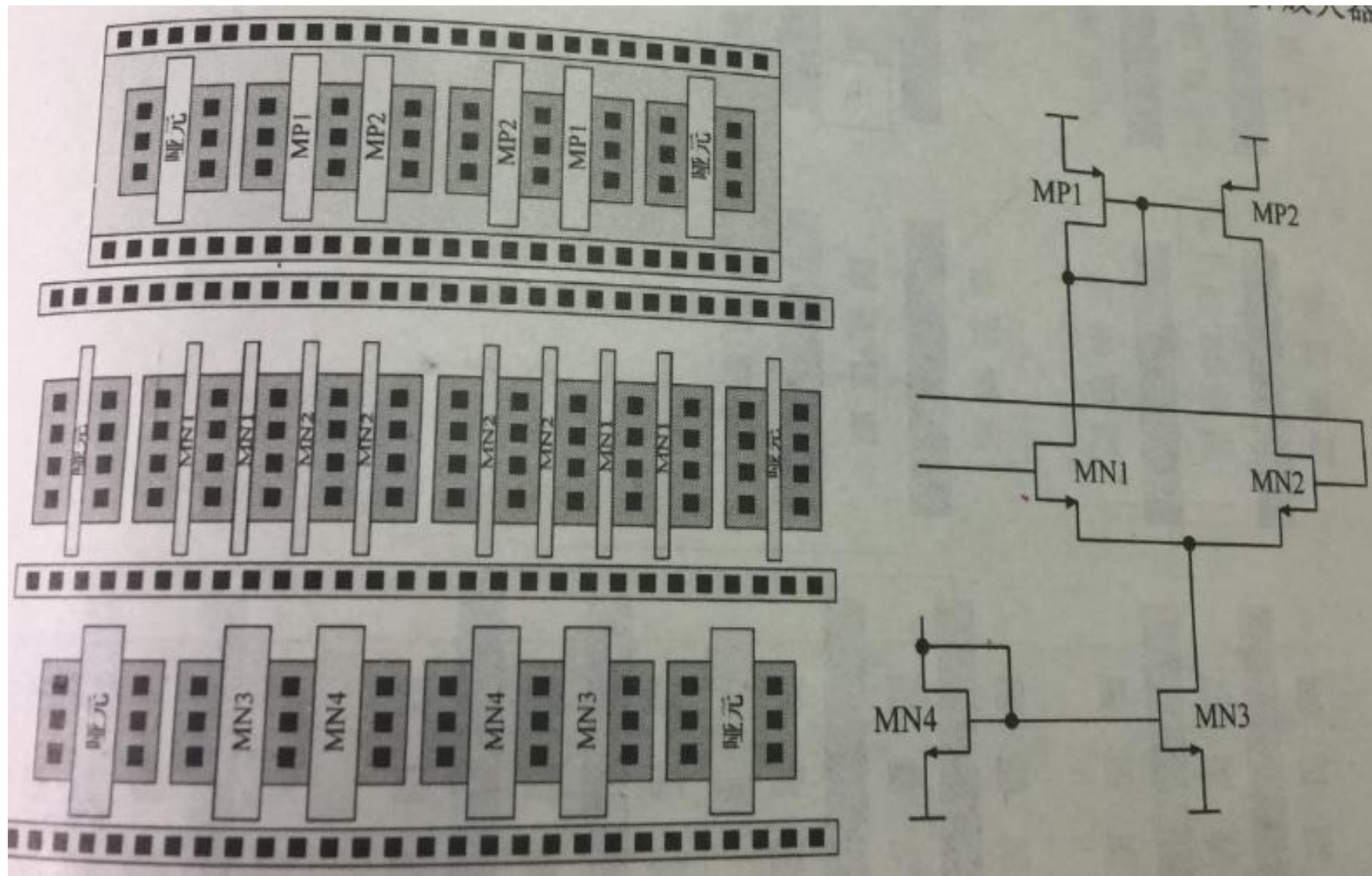
- 质心法布局W/L大的MOS

交叉
对角

分割
对称



哑元器件（改善临近注入效应）





4.4 MOS为负载的差动对

- 差动增益可用半边电路

$$A_{DM} = -g_{mN} \left(\frac{1}{g_{mP}} \parallel r_{oP} \parallel r_{oN} \right) \approx -\frac{g_{mN}}{g_{mP}}$$

$$g_{m1} = \sqrt{2\mu_n C_{ox} \frac{W}{L} I_{D1}}$$

- 平衡点附近
$$A_{DM} \approx -\frac{g_{mN}}{g_{mP}} = \sqrt{\frac{\mu_n \left(\frac{W}{L} \right)_N}{\mu_p \left(\frac{W}{L} \right)_P}} \quad (4.61)$$

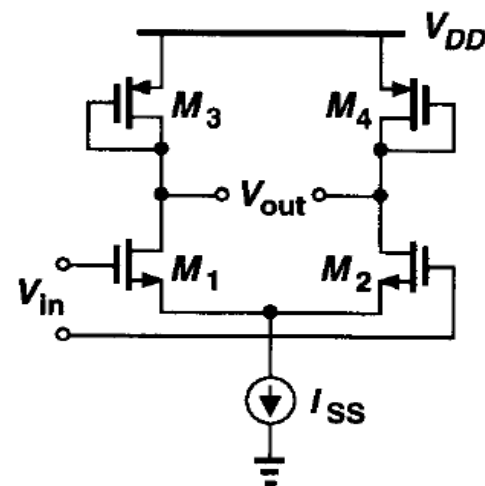


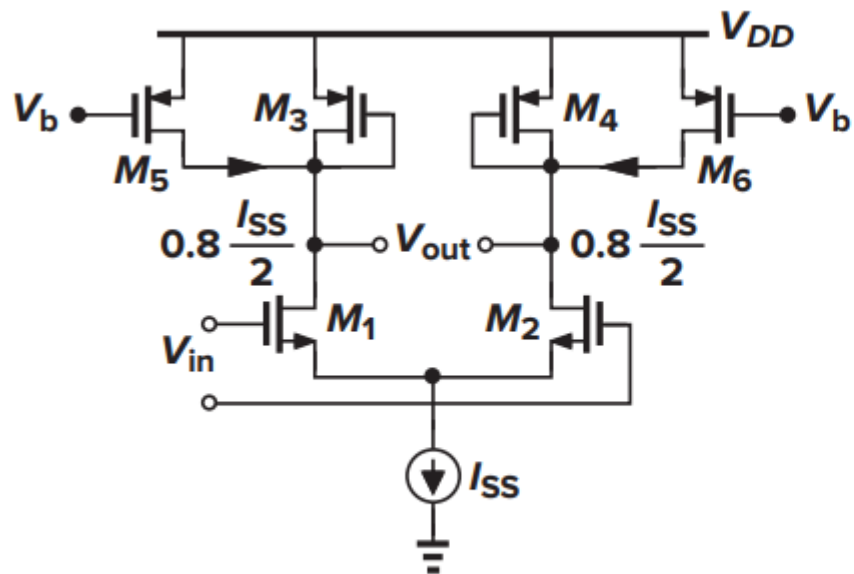
图4.37(a)以二极管为负载的差动对

注意增益方向：输入输出同侧为-，异侧为+

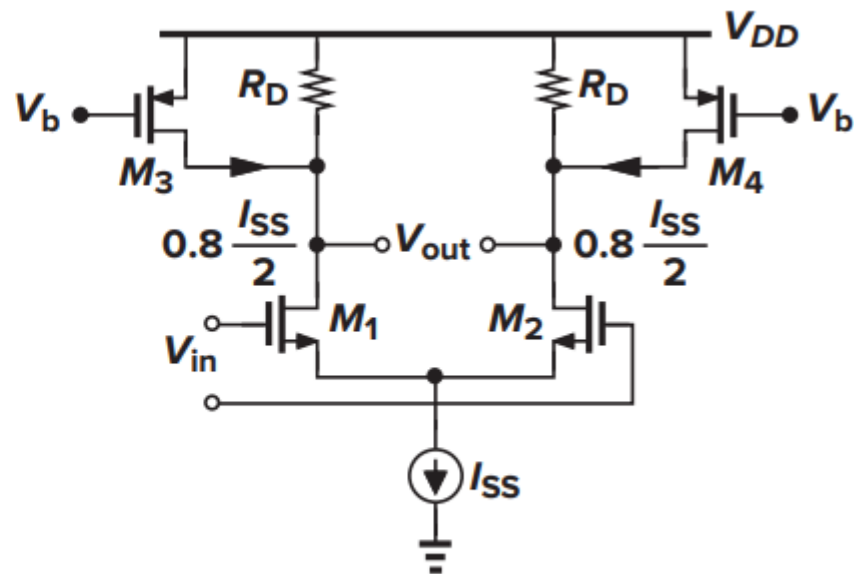
- 二极管负载减少了输出电压余度。
- 要**增大增益**，需**减小负载管PMOS宽度**即减小 $(W/L)_p$ ， I_{ss} 不变，从而 $|V_{GSP} - V_{THP}|$ 增大，X和Y点允许的共模电平下降，一般会导致输出范围减小。



辅助电流源二极管负载的差动对



(a)

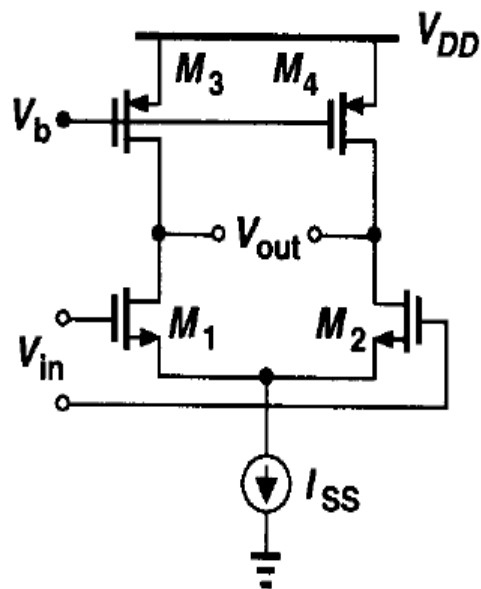


(b)

采用减少负载PMOS二极管电流、而不是减少负载二极管宽度的方法，使负载PMOS的 g_m 减小来增大负载阻抗，可减小对输出电压范围的影响



电流源负载的差动对



$$A_{DM} = -g_{mN}(r_{oP} \parallel r_{oN})$$

电流源负载差动对的缺点：
输出共模电平不确定

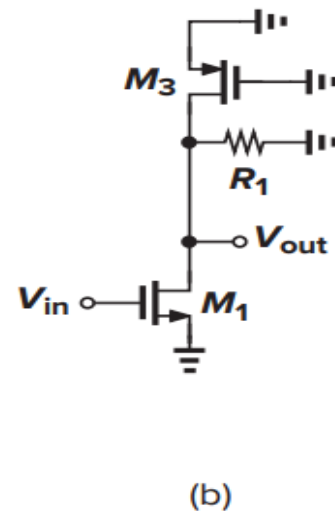
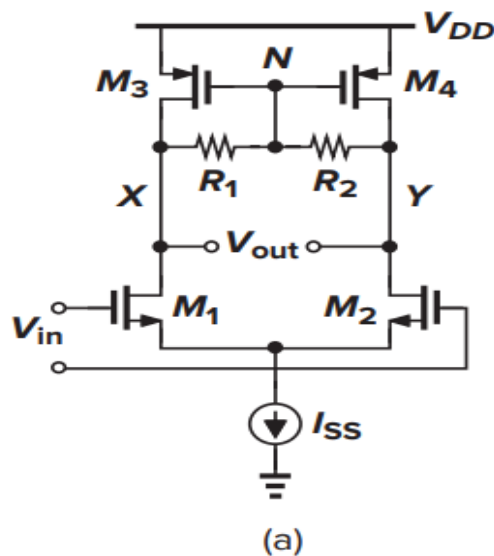


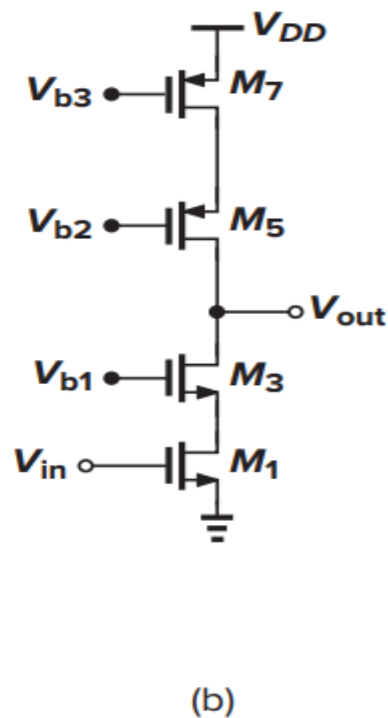
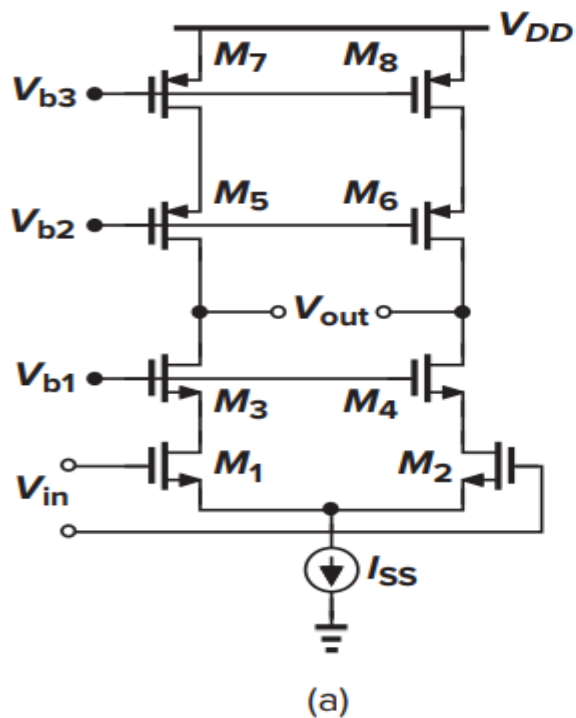
图4.38 自偏置电流源负载的差动对

$$A_{DM} = -g_{mN}(r_{oP} \parallel r_{oN} \parallel R_1)$$

对称电路中N点电平不变。
M3和M4交流模型为电流源，
而直流模型为二极管，
差动对电路输出共模电平
=VDD-VGS3(由Iss确定)



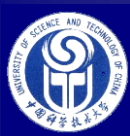
高增益cascode差动对（电流源负载）



M7和M8是电流源

缺点：输入电压范围（余度）很小，只适合小信号放大。

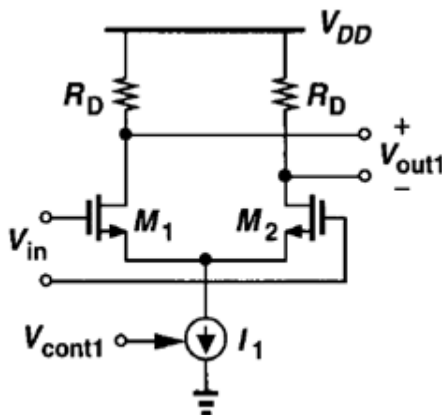
注意：电流源负载差动器必须用某种负反馈方法确定输出共模电平。



4.5 吉尔伯特单元，模拟乘法器

如何实现 $\Delta V_{out} = k \Delta V_{cont} \Delta V_{in} = k(V_{cont2} - V_{cont1}) \Delta V_{in}$

考察：



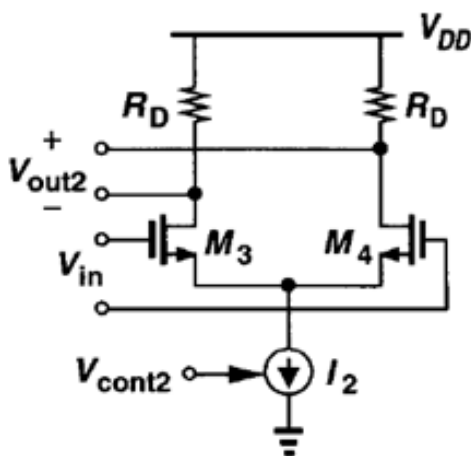
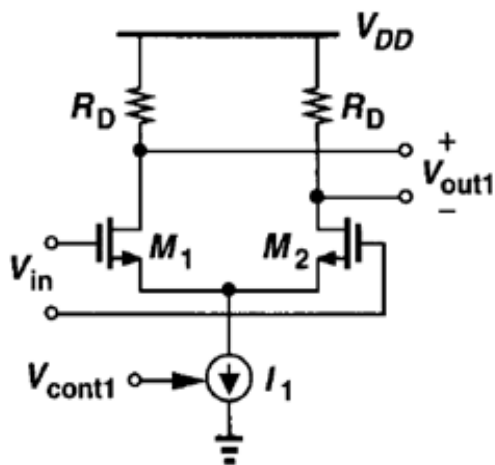
增益是尾电流源偏置电压 V_{cont} 的线性函数

$$\begin{aligned}
 A_v &= \frac{\Delta V_{out1}}{\Delta V_{in}} = -g_{m1} R_D = -\sqrt{2\mu_n C_{ox} \left(\frac{W}{L}\right)_1 \frac{I_1}{2}} R_D \\
 &= -\sqrt{\mu_n C_{ox} \left(\frac{W}{L}\right)_1 \frac{1}{2} \mu_n C_{ox} \left(\frac{W}{L}\right)_{cont1} (V_{cont1} - V_{TH})^2} R_D \\
 &= -\mu_n C_{ox} \sqrt{\frac{1}{2} \left(\frac{W}{L}\right)_1 \left(\frac{W}{L}\right)_{cont1}} \times R_D \times (V_{cont1} - V_{TH}) \\
 &= -K (V_{cont1} - V_{TH}), \text{ 令 } K = \mu_n C_{ox} \sqrt{\frac{1}{2} \left(\frac{W}{L}\right)_1 \left(\frac{W}{L}\right)_{cont1}} \times R_D
 \end{aligned}$$



吉尔伯特乘法器构成电路的演变

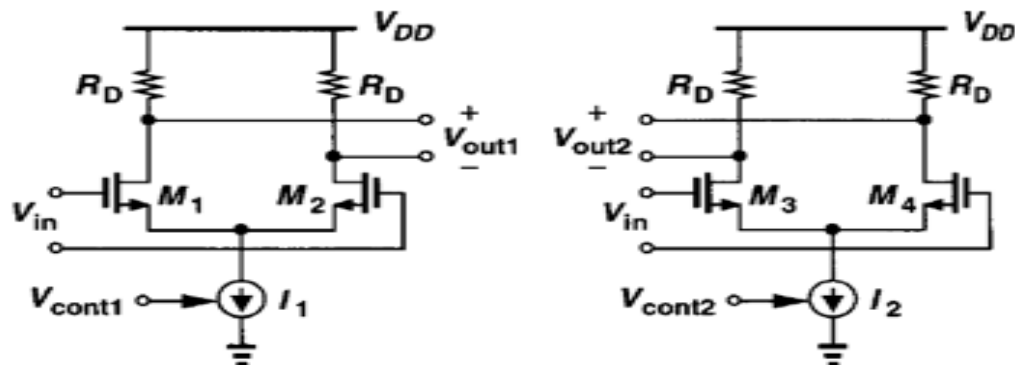
$$\begin{aligned}\Delta V_{out} &= k(V_{cont2} - V_{cont1}) \Delta V_{in} \\ &= k(V_{cont2} - V_{TH} - V_{cont1} + V_{TH}) \Delta V_{in} \\ &= -k(V_{cont1} - V_{TH}) \Delta V_{in} + k(V_{cont2} - V_{TH}) \Delta V_{in} \\ &= V_{out1} + V_{out2}\end{aligned}$$



注意 V_{out2} 与 V_{out1} 方向



Gilbert cell: 电路演变



V_{in} 相同, V_{out1} 和 V_{out2} 反相

大信号分析:

$$\begin{aligned} \text{差动输出 } V_{out1} &= [V_{DD} - R_D I_{D1}] - [V_{DD} - R_D I_{D2}] \\ &= R_D (I_{D2} - I_{D1}) \end{aligned}$$

$$\begin{aligned} \text{差动输出 } V_{out2} &= [V_{DD} - R_D I_{D4}] - [V_{DD} - R_D I_{D3}] \\ &= R_D (I_{D3} - I_{D4}) \end{aligned}$$

$$\begin{aligned} V_{out} &= V_{out1} + V_{out2} = R_D (I_{D2} - I_{D1}) + R_D (I_{D3} - I_{D4}) \\ &= R_D (I_{D2} + I_{D3}) - R_D (I_{D1} + I_{D4}), \text{ 如何实现?} \end{aligned}$$

$$\begin{aligned} V_{out} &= [V_{DD} - R_D (I_{D1} + I_{D4})] - [V_{DD} - R_D (I_{D2} + I_{D3})] \\ &= R_D (I_{D2} - I_{D1}) + R_D (I_{D3} - I_{D4}) = V_{out1} + V_{out2} \end{aligned}$$

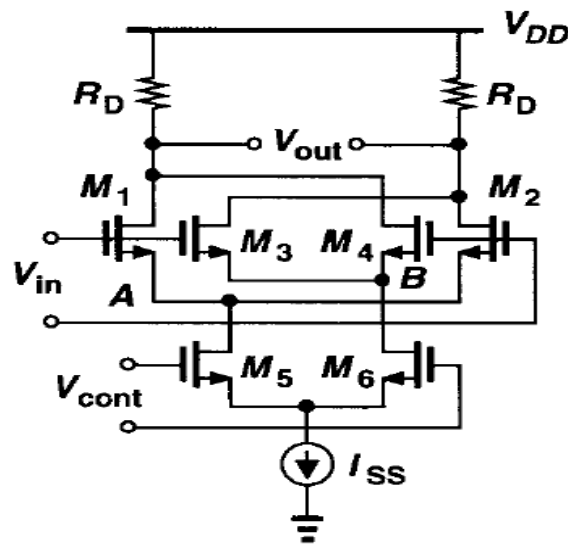
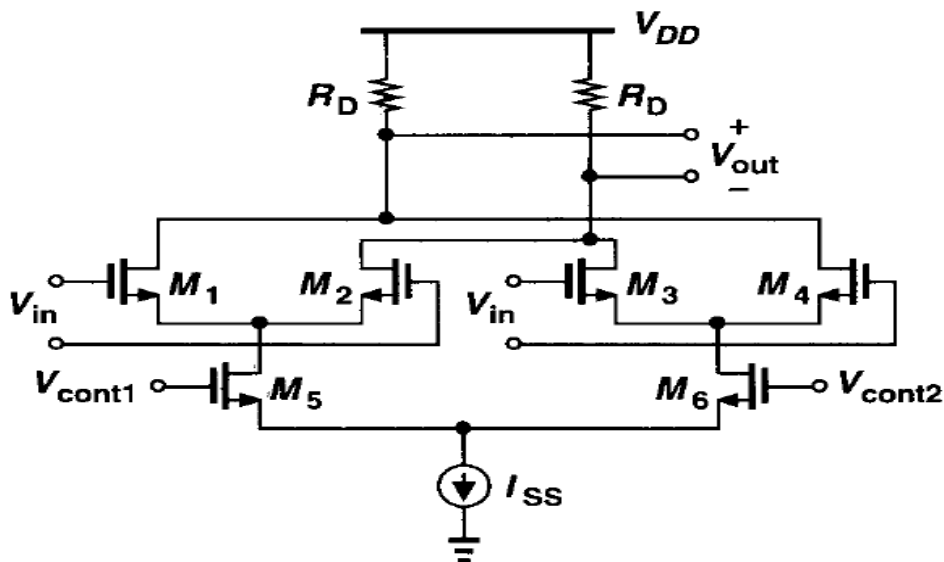


Gilbert cell 电路结构

$$V_{out} = [V_{DD} - R_D(I_{D1} + I_{D4})] - [V_{DD} - R_D(I_{D2} + I_{D3})]$$

$$= R_D(I_{D2} - I_{D1}) + R_D(I_{D3} - I_{D4}) = V_{out1} + V_{out2}$$

Gilbert cell

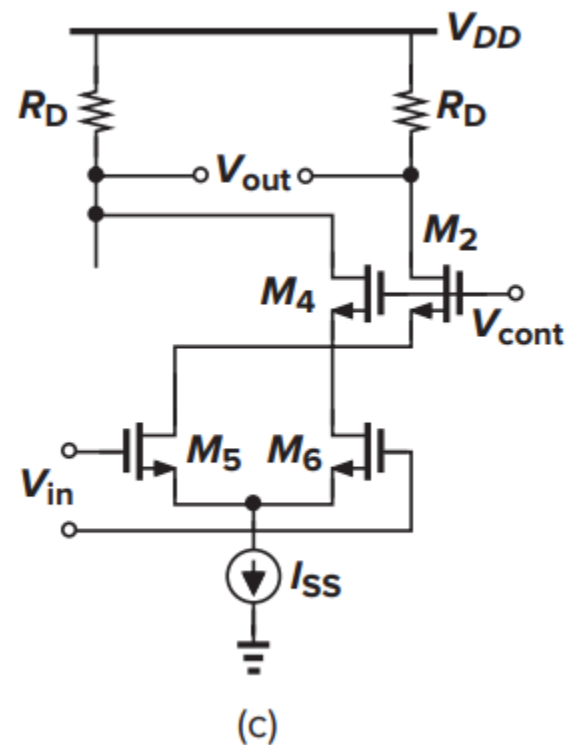
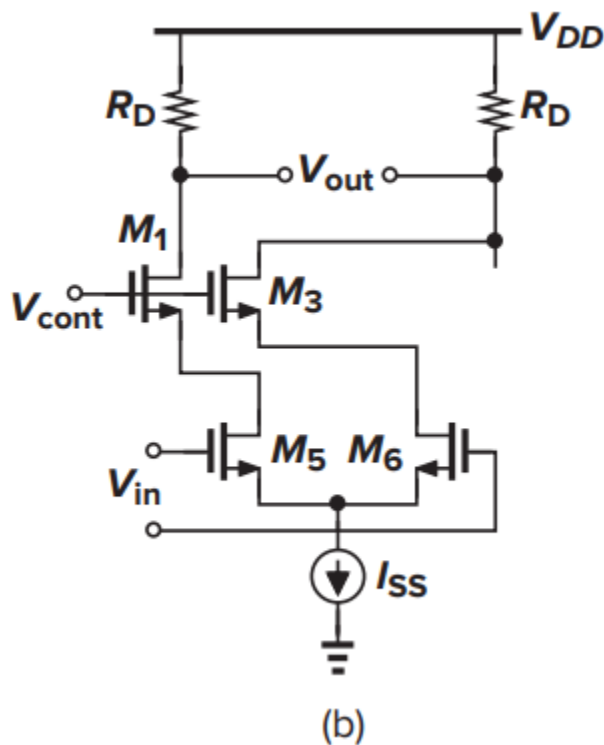
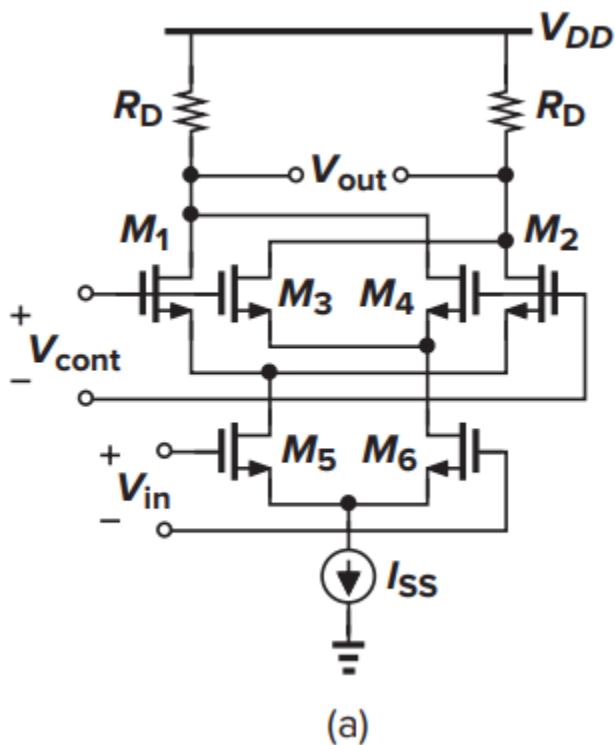


加上尾电流源，交变信号 $\Delta V_{out} = V_{out} = k(V_{cont2} - V_{cont1}) \Delta V_{in} = k \Delta V_{cont} \times \Delta V_{in}$

- 吉尔伯特单元 可作为乘法器和Mixer。
- 输入交变信号较大时，输出中含有其它非理想混频信号和杂散信号。

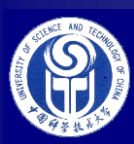


微弱输入信号放下层，输出输入反向隔离较好



V_{cont} 大信号，如CLK

注意**纳米**工艺射频电路中，D-S之间电容很大（金属1）



本章知识要点

- 差动放大器用于抑制电路外部（地和电源、输入信号中）的**共模噪声**（以及温度零漂）；
- 差动电路通过尾电流源高阻（大 L ）降低共模增益、输出相减来抑制共模噪声；并提高线性度；
- 差动电路可用半边电路方法进行**微小**信号分析；
- 差动电路两支路的输入偏置（直流工作点）应相同；
- 差动电路的缺点：对失配敏感，解决方法是采用高阻尾电流源、对称（质心法）版图和哑元器件改善临近注入效应；
- 差动电路的代价是面积和功耗，以及版图设计繁琐。